

機器視覺函式庫開發與應用

機器視覺函式庫

MiM-iVision 機器視覺函式庫 Machine Vision Library

特點

- 兼容所有影像來源，包含影像擷取卡、GigE工業相機或USB2.0及3.0工業相機。
- 全面支援多種作業系統，如Windows、Linux及MacOS等。
- 提供64位元及32位元函式庫，並支援LabView、Visual C++、BCB及.NET(如C#、VB)。
- 次像素等級量測與定位精度。
- 執行緒安全。
- 支援SSE2及AVX2多媒體指令集加速。
- 友善的開發介面，SDK提供眾多範例，簡化函式介面，一試就上手。
- 強健、彈性及效能強大。

MiM iVision 功能列表 (於官網提供相關評估程式下載)：

- iImage：影像資料結構函式庫
- iImgProcess：影像前處理函式庫
- iColor：彩色影像處理函式庫
- iMeasure：2D影像量測函式庫
- iObject：連結體分析與特徵計算函式庫
- iMatch：影像比對函式庫
- iFind：輪廓特徵比對函式庫
- iOCR：字元辨識函式庫
- iOCV：字元驗證函式庫
- iBarCode：一維條碼讀取函式庫
- iQRCode：二維條碼讀取函式庫
- iDXF：DXF讀取函式庫
- iGerber：Gerber讀取函式庫
- iROI：ROI元件函式庫

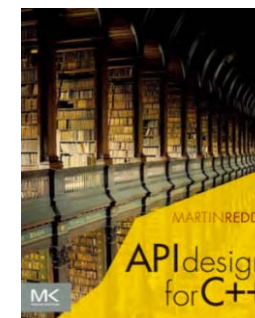
Website : www.mimtech.com.tw

A novel Fourier descriptor based image alignment algorithm for automatic optical inspection. J. Visual Communication and Image Representation 20(3): 178-189 (2009)

A hybrid defect detection for in-tray semiconductor chip. International Journal of Advanced Manufacturing Technology 65: 43-56 (2013)

An accelerating CPU based correlation-based image alignment for real-time automatic optical inspection. Computers & Electrical Engineering 49: 207-220 (2016)

Optical Character Recognition Based on GA-based Optimal Neural Network. ICASI 2017

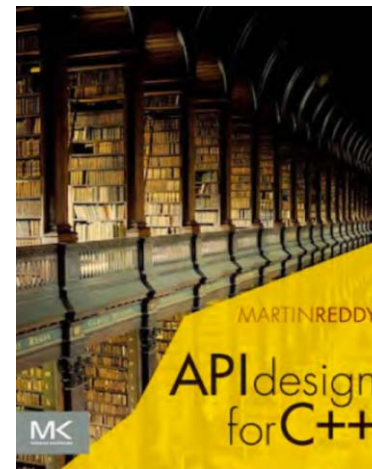


大綱

- 機器視覺函式庫開發之注意事項
- 多媒體指令集
- 函式庫開發與應用實務
 - 算術及邏輯運算
 - 遮罩運算
 - 影像二值化
 - 型態學
 - 影像量測
- 進階機器視覺演算法介紹 - 2D 視覺定位

機器視覺函式庫開發之注意事項

- 在工業應用中，重視：(1) 準確性，(2) 速度 及 (3) 穩定性。
- 除了持續開發影像演算法外，如何結合 CPU 所提供的 SIMD 指令集提升效能，則是商用函式庫之核心技術。
- 本課程將探討如何將常用之影像處理演算法，利用 SIMD 指令集加速，以符合實際應用上之需求。
- 除 CPU 之 SIMD 指令集外，利用 GPU 或 FPGA 進行影像的平行處理，也是函式庫開發之主流。

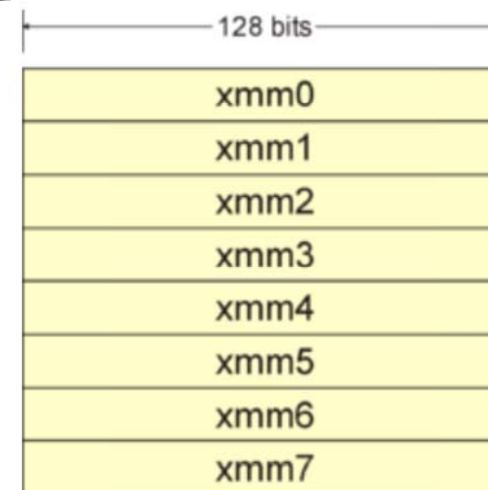


多媒體指令集


















- ❑ 多媒體指令集 (Multimedia Extension/Matrix Math Extensions, MMX) 是 Intel 在 1997 年首先應用在 CPU-Pentium 中的 SIMD 技術。 !! ARM 的 SIMD 技術是 NEON
- ❑ 其核心架構是利用 CPU 中的浮點運算暫存器，置換為 MMX 用的暫存器，其名稱為 MM0-MM7，共 8 個暫存器。
- ❑ MMX 指令集可以切割其 64Bits 的暫存器為 8 個 Byte (8 Bits) / 4 個 Word (16 Bits) / 2 個 Double Word (32Bits)。
- ❑ 在影像處理中，以灰階影像的 Pixel (8Bits) 為主要處理單位，因此可一次運算多筆資料，發揮 SIMD 的最大功效。

多媒體指令集

- Intel 後續提出 Streaming SIMD Extensions (SSE) 架構，在 CPU 中新增 8 個獨立的 128Bit 浮點暫存器，不需要佔用原本的浮點暫存器。
- 在 Intel SSE2 的指令手冊中，SSE2 讓整數指令全面支援 XMM 128Bit 暫存器，也就是在部份影像處理中，可以同步運算到 16 個像素 (8 Bits) 點。



多媒體指令集

SIMD Extension	Register Layout	Data Type
MMX Technology	MMX Registers	
		8 Packed Byte Integers
		4 Packed Word Integers
		2 Packed Doubleword Integers
SSE	MMX Registers	
		8 Packed Byte Integers
		4 Packed Word Integers
		2 Packed Doubleword Integers
SSE2	MMX Registers	
		2 Packed Doubleword Integers
		Quadword
	XMM Registers	
		4 Packed Single-Precision Floating-Point Values
	MMX Registers	
		2 Packed Doubleword Integers
		Quadword
	XMM Registers	
		2 Packed Double-Precision Floating-Point Values
		16 Packed Byte Integers
		8 Packed Word Integers
		4 Packed Doubleword Integers
		2 Quadword Integers
		Double Quadword

多媒體指令集

- ❑ Intel 最新提出 **A**dvanced **V**ector **E**xtensions (AVX) 架構，延伸 SSE 指令集，將暫存器 XMM 128Bit 暫存器提升至 **YMM 256bit**，增加一倍的資料寬度。
- ❑ Fused Multiply Accumulate (FMA) 則是 Intel 的 AVX 擴充指令集。
- ❑ AVX2 指令集是 Haswell 處理器升級的一個重點，通過增加對 256 位元整數 SIMD 指令的支援、2 個新 FMA 單元和一些位移指令，讓處理器的整數和浮點運算速度翻倍。
- ❑ 由於最新的 Intel CPU 才有支援 AVX2/AVX512 及 FMA 指令集，考慮兼容性，目前商用機器視覺函式庫普遍還是使用 SSE 指令集架構進行加速。

多媒體指令集

□ 在 Visual Studio 中開發基於 SSE2 指令集的程式，需要

```
#include <emmintrin.h>
```

```
#include <tmmintrin.h>
```

□ 常用 SSE2 資料結構：

```
typedef union __declspec(intrin_type) _CRT_ALIGN(16) __m128i {
    __int8      m128i_i8[16];
    __int16     m128i_i16[8];
    __int32     m128i_i32[4];
    __int64     m128i_i64[2];
    unsigned __int8  m128i_u8[16];
    unsigned __int16 m128i_u16[8];
    unsigned __int32 m128i_u32[4];
    unsigned __int64 m128i_u64[2];
} __m128i;
```

```
typedef struct __declspec(intrin_type) _CRT_ALIGN(16) __m128d {
    double      m128d_f64[2];
} __m128d;
```

多媒體指令集

New Data Type	MMX(TM) Technology	Streaming SIMD Extensions	Streaming SIMD Extensions 2	Streaming SIMD Extensions 3
__m64	Available	Available	Available	Available
__m128	Not available	Available	Available	Available
__m128d	Not available	Not available	Available	Available
__m128i	Not available	Not available	Available	Available

多媒體指令集

□ 常用 SSE2 指令集存取指令：

```
__m128i _mm_load_si128(__m128i const*p)
```

Loads 128-bit value. Address p must be 16-byte aligned.

R
*p

```
__m128i _mm_loadu_si128(__m128i const*p)
```

Loads 128-bit value. Address p not need be 16-byte aligned.

R
*p

```
__m128i _mm_loadl_epi64(__m128i const*p)
```

Load the lower 64 bits of the value pointed to by p into the lower 64 bits of the result, zeroing the upper 64 bits of the result.

R0	R1
*p[63:0]	0x0

Intrinsic Name	Operation	Instruction
mm_load_si128	Load	MOVDQA
_mm_loadu_si128	Load	MOVDQU
_mm_loadl_epi64	Load and zero	MOVQ

多媒體指令集

□ 常用 SSE2 指令集存取指令：

Intrinsic Name	Operation	Corresponding SSE2 Instruction
<code>_mm_stream_si128</code>	Store	MOVNTDQ
<code>_mm_stream_si32</code>	Store	MOVNTI
<code>_mm_store_si128</code>	Store	MOVDQA
<code>_mm_storeu_si128</code>	Store	MOVDQU
<code>_mm_maskmoveu_si128</code>	Conditional store	MASKMOVDQU
<code>_mm_storel_epi64</code>	Store lowest	MOVQ

```
void _mm_storeu_si128(__m128i *p, __m128i b)
```

Stores 128-bit value. Address `p` need not be 16-byte aligned.

<code>*p</code>
<code>a</code>

函式庫開發與應用實務

□ 影像處理 - 算術及邏輯運算

函式名稱	功能說明
iImg_ImageAdd	影像相加
iImg_ImageSub	影像相減
iImg_ImageMul	影像相乘 (指定變數)
iImg_ImageDiv	影像相除 (指定變數)
iImg_ImageShiftLeft	像素位元左移
iImg_ImageShiftRight	像素位元右移
iImg_ImageBirwiseAND	像素位元 AND
iImg_ImageBirwiseOR	像素位元 OR
iImg_ImageBirwiseXOR	像素位元 XOR
iImg_ImageEqual	像素邏輯相等
iImg_ImageNOTEqual	像素邏輯相斥
iImg_ImageInvert	影像反向

影像相加

□ 影像相加所需 SSE2 指令：

```
__m128i _mm_adds_epu8(__m128i a, __m128i b)
```

Adds the 16 unsigned 8-bit integers in `a` to the 16 unsigned 8-bit integers in `b` using saturating arithmetic.

R0	R1	...	R15
UnsignedSaturate (a0 + b0)	UnsignedSaturate (a1 + b1)	...	UnsignedSaturate (a15 + b15)

影像相減

□ 影像相減所需 SSE2 指令：

```
__m128i _mm_subs_epu8 (__m128i a, __m128i b)
```

Subtracts the 16 unsigned 8-bit integers of b from the 16 unsigned 8-bit integers of a using saturating arithmetic.

R0	R1	...	R15
UnsignedSaturate (a0 - b0)	UnsignedSaturate (a1 - b1)	...	UnsignedSaturate (a15 - b15)

影像相乘

□ 影像相乘所需 SSE2 指令：

`__m128i _mm_set1_epi16(short w)`

Sets the 8 signed 16-bit integer values to `w`.

R0	R1	...	R7
w	w	w	w

`__m128i _mm_mullo_epi16(__m128i a, __m128i b)`

Multiplies the 8 signed or unsigned 16-bit integers from `a` by the 8 signed or unsigned 16-bit integers from `b`. Packs the lower 16-bits of the 8 signed or unsigned 32-bit results.

R0	R1	...	R7
(a0 * b0) [15:0]	(a1 * b1) [15:0]	...	(a7 * b7) [15:0]

`__m128i _mm_unpackhi_epi8(__m128i a, __m128i b)`

Interleaves the upper 8 signed or unsigned 8-bit integers in `a` with the upper 8 signed or unsigned 8-bit integers in `b`.

R0	R1	R2	R3	...	R14	R15
a8	b8	a9	b9	...	a15	b15

`__m128i _mm_unpacklo_epi8(__m128i a, __m128i b)`

Interleaves the lower 8 signed or unsigned 8-bit integers in `a` with the lower 8 signed or unsigned 8-bit integers in `b`.

R0	R1	R2	R3	...	R14	R15
a0	b0	a1	b1	...	a7	b7

`__m128i _mm_setzero_si128()`

Sets the 128-bit value to zero.

R
0x0

`__m128i _mm_packus_epi16(__m128i a, __m128i b)`

Packs the 16 signed 16-bit integers from `a` and `b` into 8-bit unsigned integers and saturates.

R0	...	R7	R8	...	R15
Unsigned Saturate (a0)	...	Unsigned Saturate (a7)	Unsigned Saturate (b0)	...	Unsigned Saturate (b15)

影像相乘

□ 影像相除新增 SSE2 指令 (相較影像相乘):

```
__m128i _mm_slli_epi16(__m128i a, int count)
```

Shifts the 8 signed or unsigned 16-bit integers in a left by count bits while shifting in zeros.

R0	R1	...	R7
a0 << count	a1 << count	...	a7 << count

像素位元右移

□ 位元右移新增 SSE2 指令：

```
__m128i _mm_srli_epi16(__m128i a, int count)
```

Shifts the 8 signed or unsigned 16-bit integers in a right by count bits while shifting in zeros.

R0	R1	...	R7
srl(a0, count)	srl(a1, count)	...	srl(a7, count)

像素位元 *AND / OR / XOR*

位元 AND 新增 SSE2 指令：

```
__m128i _mm_and_si128(__m128i a, __m128i b)
```

Computes the bitwise AND of the 128-bit value in a and the 128-bit value in b.

R0
a & b

Intrinsic Name	Operation	Corresponding SSE2 Instruction
_mm_and_si128	Computes AND	PAND
_mm_andnot_si128	Computes AND and NOT	PANDN
_mm_or_si128	Computes OR	POR
_mm_xor_si128	Computes XOR	PXOR

位元 OR 新增 SSE2 指令：

```
__m128i _mm_or_si128(__m128i a, __m128i b)
```

Computes the bitwise OR of the 128-bit value in a and the 128-bit value in b.

R0
a b

位元 XOR 新增 SSE2 指令：

```
__m128i _mm_xor_si128(__m128i a, __m128i b)
```

Computes the bitwise XOR of the 128-bit value in a and the 128-bit value in b.

R0
a ^ b

像素邏輯相等 / 互斥

□ 像素邏輯相等 新增 SSE2 指令：

```
__m128i _mm_cmpeq_epi8(__m128i a, __m128i b)
```

Compares the 16 signed or unsigned 8-bit integers in *a* and the 16 signed or unsigned 8-bit integers in *b* for equality.

R0	R1	...	R15
(a0 == b0) ? 0xff : 0x0	(a1 == b1) ? 0xff : 0x0	...	(a15 == b15) ? 0xff : 0x0

□ 像素邏輯互斥 新增 SSE2 指令：

```
__m128i _mm_set1_epi8(char b)
```

Sets the 16 signed 8-bit integer values to *b*.

R0	R1	...	R15
b	b	b	b

```
__m128i _mm_subs_epi8(__m128i a, __m128i b)
```

Subtracts the 16 signed 8-bit integers of *b* from the 16 signed 8-bit integers of *a* using saturating arithmetic.

R0	R1	...	R15
SignedSaturate (a0 - b0)	SignedSaturate (a1 - b1)	...	SignedSaturate (a15 - b15)

影像反向

□ 反向 新增 SSE2 指令：

```
__m128i _mm_subs_epu8 (__m128i a, __m128i b)
```

Subtracts the 16 unsigned 8-bit integers of b from the 16 unsigned 8-bit integers of a using saturating arithmetic.

R0	R1	...	R15
UnsignedSaturate (a0 - b0)	UnsignedSaturate (a1 - b1)	...	UnsignedSaturate (a15 - b15)

函式庫開發與應用實務

□ 影像處理 - 遮罩運算

函式名稱	功能說明
iImg_Sobel	邊緣偵測
iImg_Laplacian	邊緣偵測
iImg_Robert	邊緣偵測
iImg_Prewitt	邊緣偵測
iImg_LaplacianSharping	邊緣強化
iImg_GaussianSmoothing3x3	3x3 高斯低通濾波
iImg_MeanSmoothing3x3	3x3 均值濾波
iImg_MedianFilter3x3	3x3 中值濾波
iImg_ArbitraryConvolution3x3	任意係數 3x3 遮罩濾波

函式庫開發與應用實務

□ 影像處理 - 二值化及形態學

函式名稱	功能說明
iImg_Threshold	二值化
iImg_DoubleThreshold	雙閾值二值化
iImg_OtsuThreshold	Otsu 二值化
iImg_Dilation	形態學 - 膨脹
iImg_Erosion	形態學 - 侵蝕

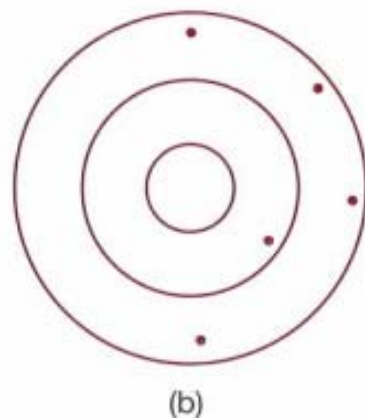
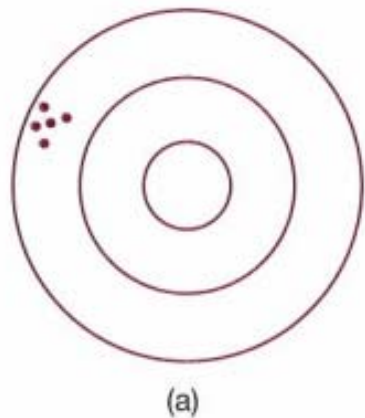
影像量測技術

準確度與精密度

- ❑ 準確度 (Accuracy) 與精密度 (Precision) 是量測學之基礎觀念，更普遍應用到與計量相關的多種領域。
- ❑ 準確度為觀測值或估值跟真值間差異的比較。
- ❑ 精密度為觀測值間相互之關係。
- ❑ 準確度之科學使用中，包含量測準確度 (Measurement Accuracy) 與分類準確度 (Classification Accuracy) 兩種，本課程主要探討量測準確度。

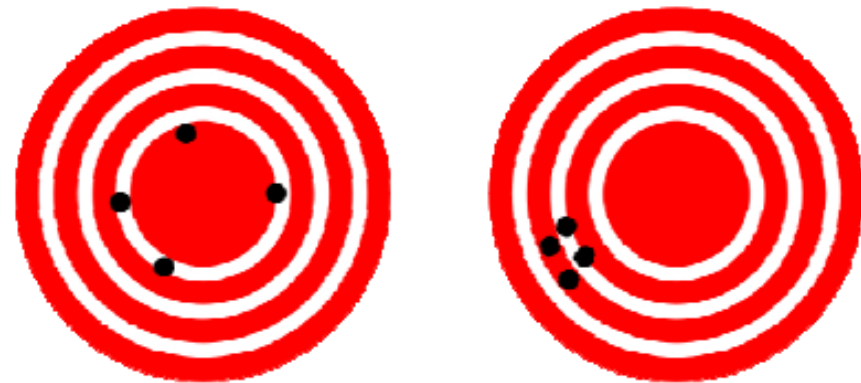
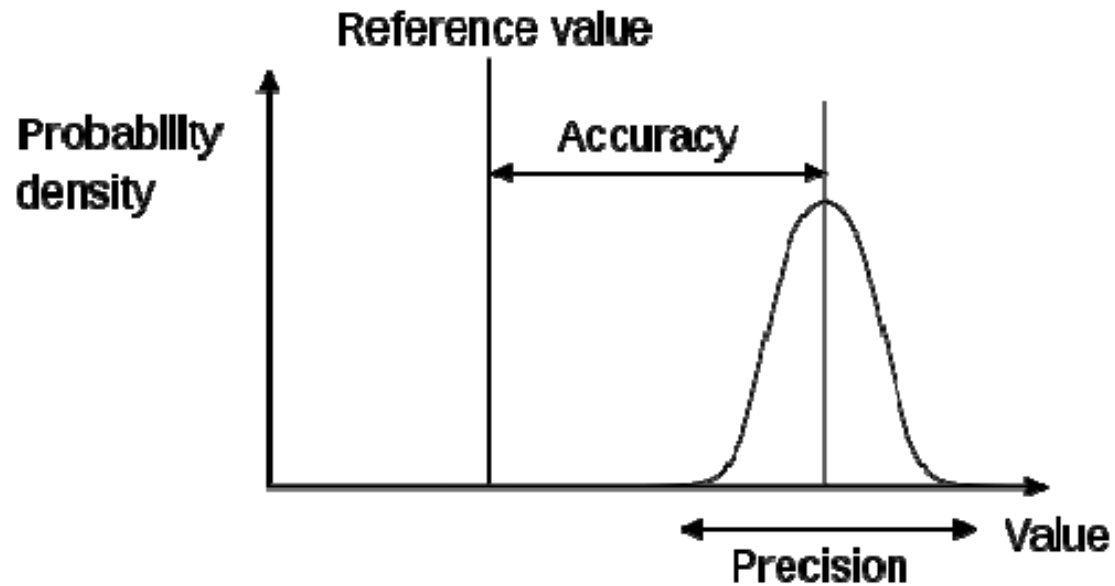
準確度與精密度

- 準確度表示觀測量與真實量間之絕對接近程度。
- 精密度為一群觀測量間之吻合程度，由其間之變異數或標準差大小評估。
- 量測系統之精密度也可稱為重現度，為在相同條件下重複性量測其值之重複程度。



Examples of precision and accuracy (a) Results are precise but not accurate. (b) Results are neither precise nor accurate. (c) Results are both precise and accurate.

準確度與精密度



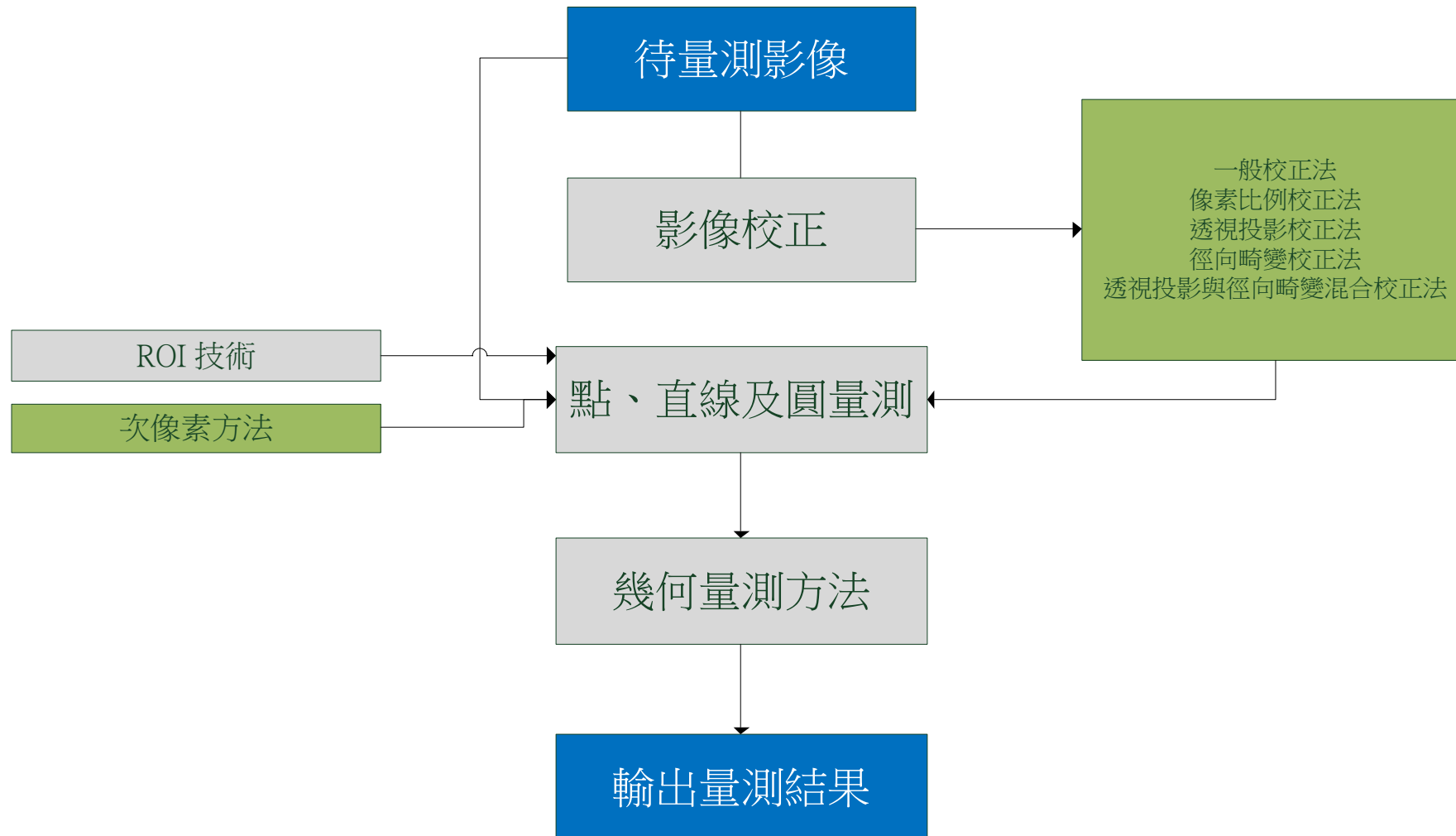
準確度與精密度



準確度與精密度

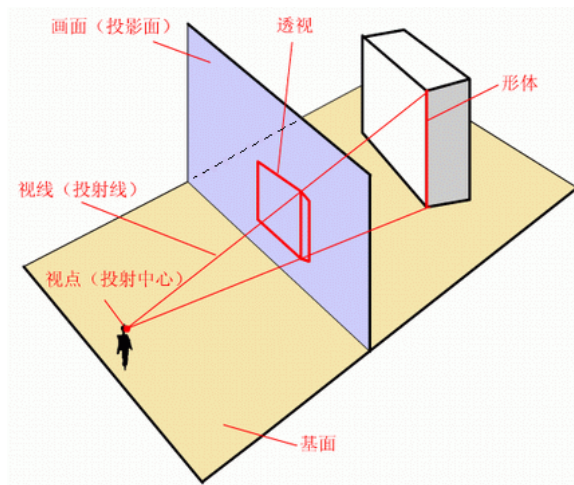
- 準確度 (Accuracy) 高是表示系統誤差小或不存在。
- 精密度等同隨機誤差的概念。
- 分析量測結果時，所謂的精度應包含系統誤差跟隨機誤差。
- 一個量測系統，必須要精密，才可以準確。

影像量測流程圖



影像校正

- ❑ 像素比例校正法：根據三組不共線點資料的影像座標與真實座標，校正出像素真實長度與寬度，輸出的單位即為校正時，點資料真實座標的單位。
- ❑ 透視投影校正法：校正因透視效應造成的畸變 (Perspective Distortion)。根據四組三三不共線的影像座標及真實座標資料，用以校正出真實座標與影像座標間的轉換關係。



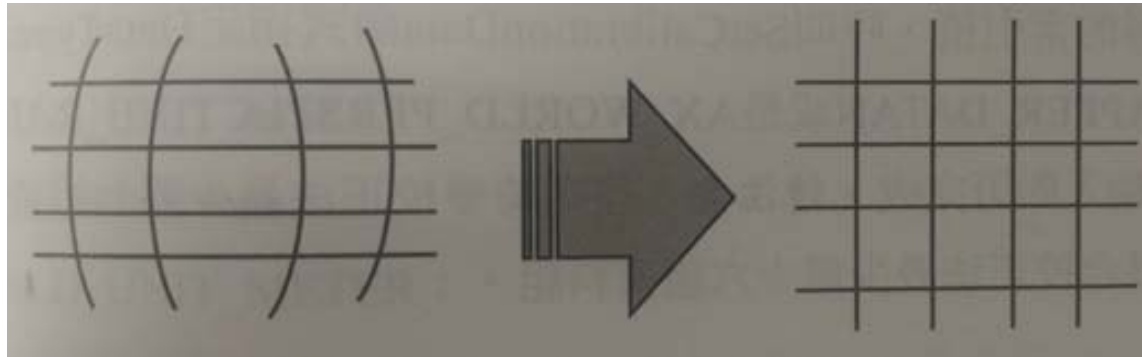
$$x' = k_1x + k_2y + k_3xy + k_4$$

$$y' = k_5x + k_6y + k_7xy + k_8$$

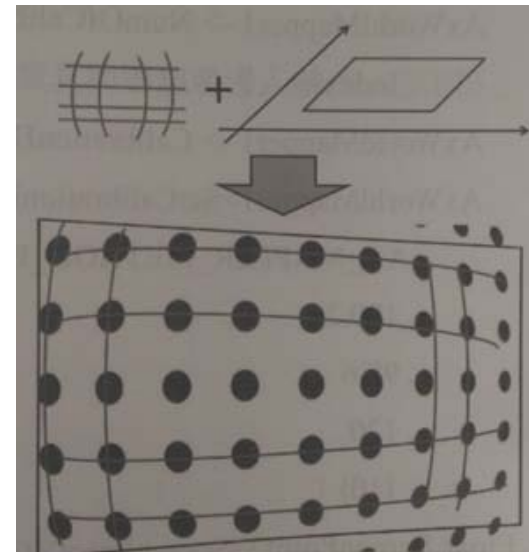


影像校正

□ 徑向畸變：

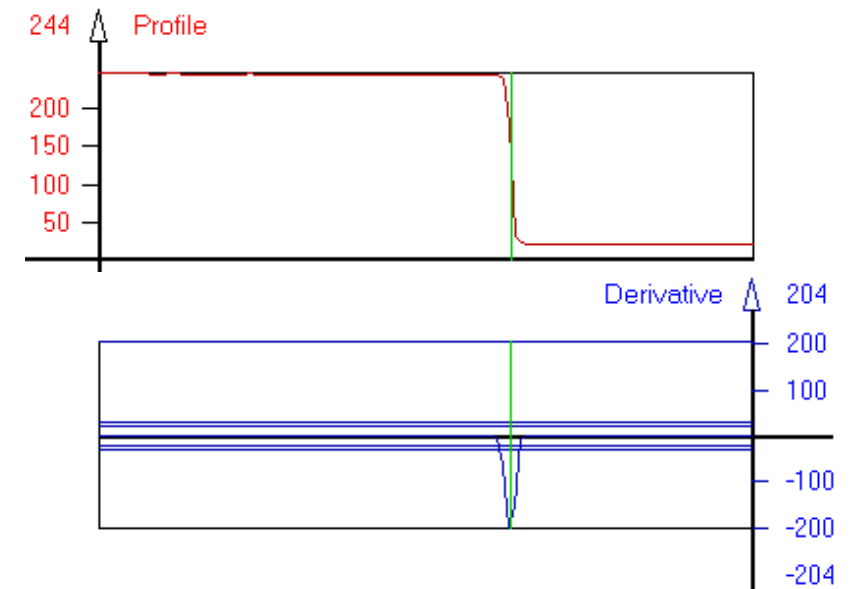
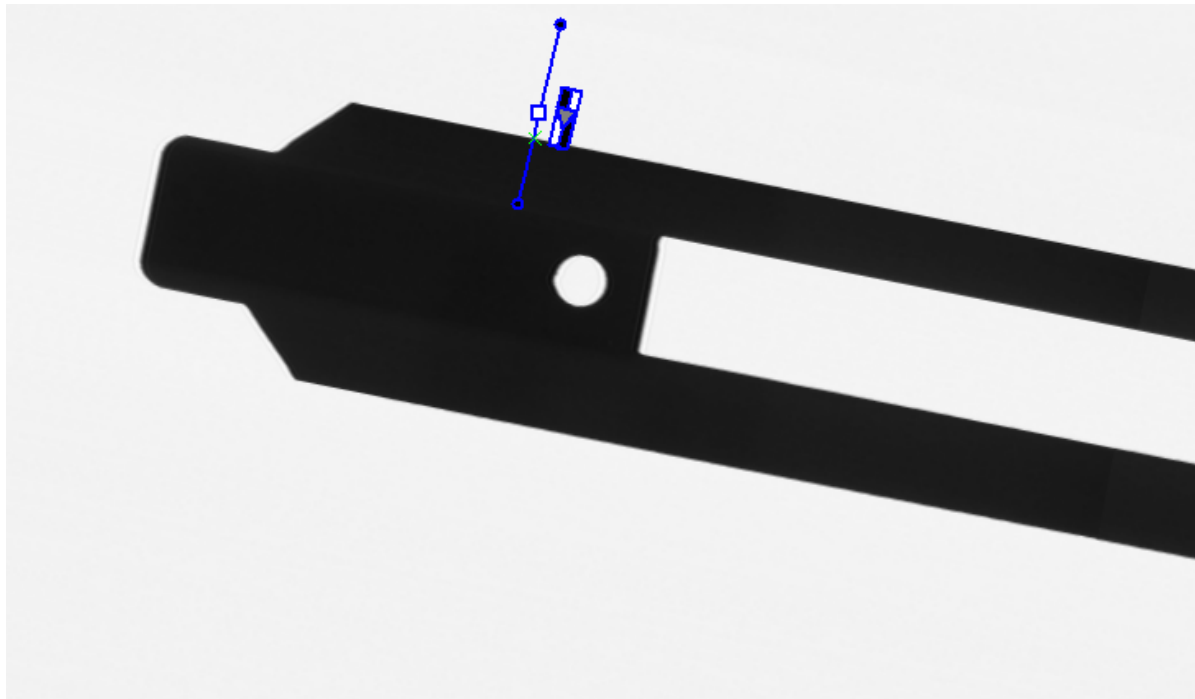


□ 徑向與透視投影混合：



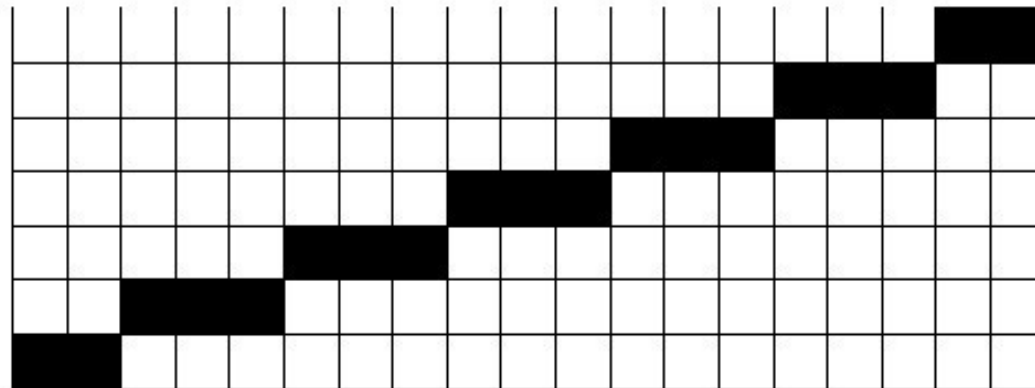
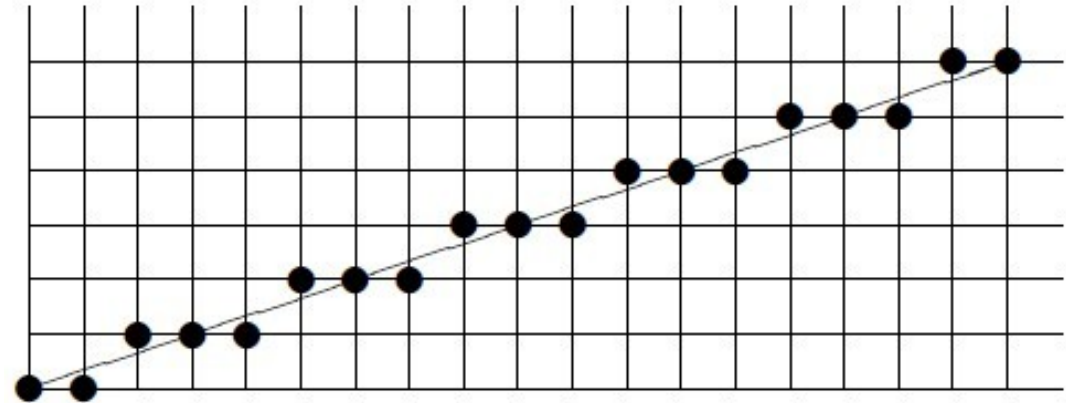
點量測方法 (*Point Gauge*)

□ 打背光後取得的影像如下：



點量測方法 (*Point Gauge*)

- 數位直線生成演算法：
 - DDA 數值微分演算法
 - Bresenham 演算法



點量測方法 (*Point Gauge*)

□ DDA 數值微分演算法

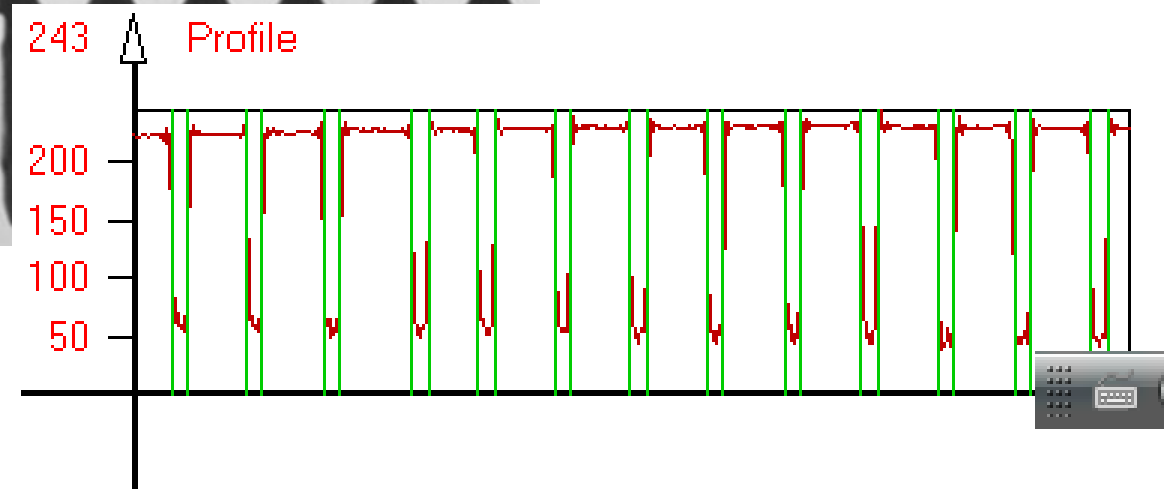
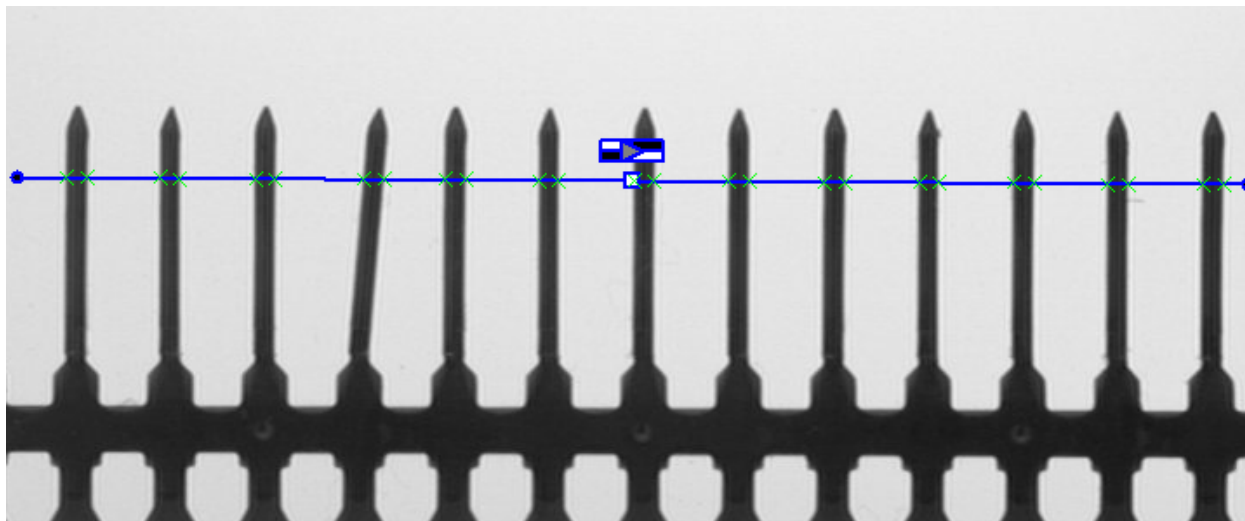
複雜度：加法 + 取整數

上述採用的增量計算方法稱為數值微分演算法 (Digital Differential Analyzer, DDA)。
數值微分演算法的本質，是用數值方法解微分方程，通過同時對 x 和 y 方向各增加一個小增量，來計算下一步的 x 、 y 值。

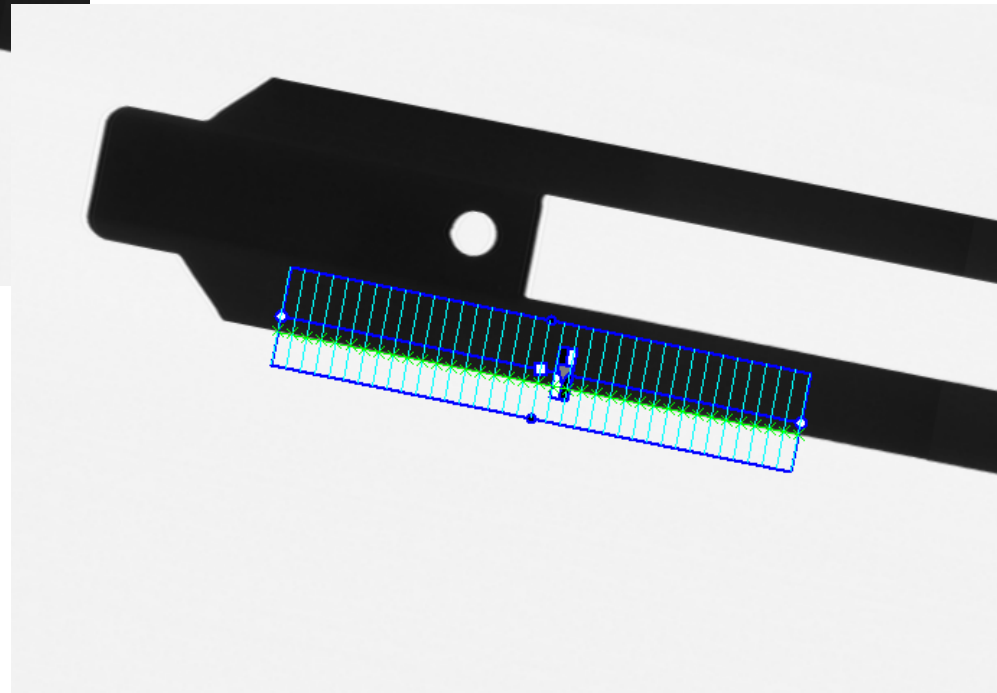
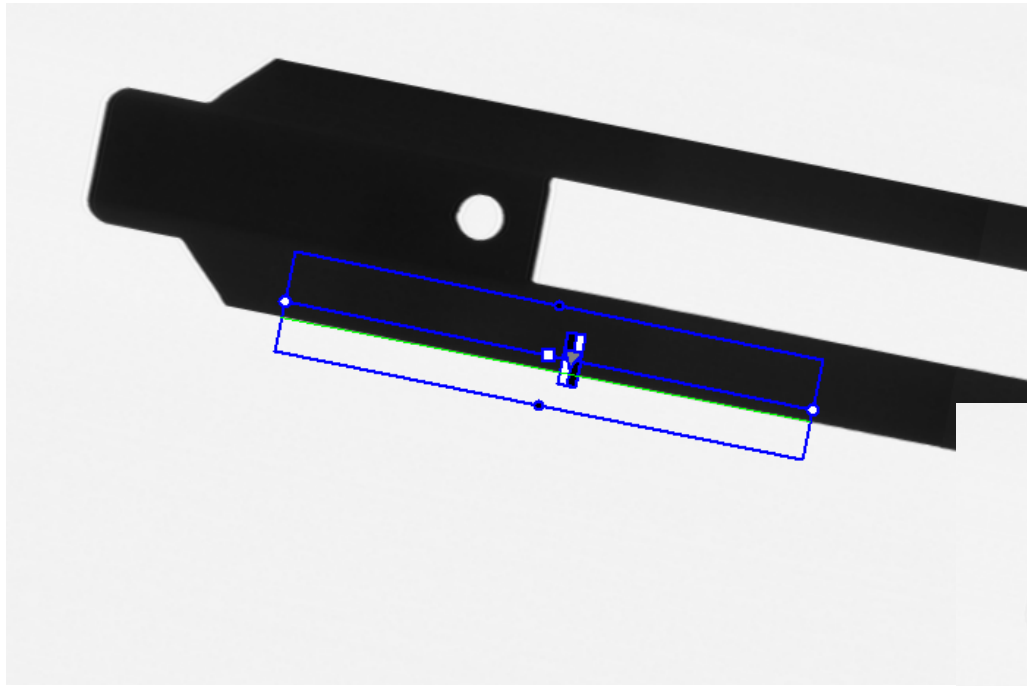
□ Bresenham 演算法

Bresenham 演算法是 1965 年提出，基本原理是：借助一個誤差量（直線與當前實際繪製像素點的距離），來確定下一個像素點的位置。算法的巧妙之處在於採用增量計算，使得對於每一列，只要檢查誤差量的符號，就可以確定該下一列的像素位置。

點量測方法 (*Point Gauge*)



直線量測方法 (*Line Gauge*)

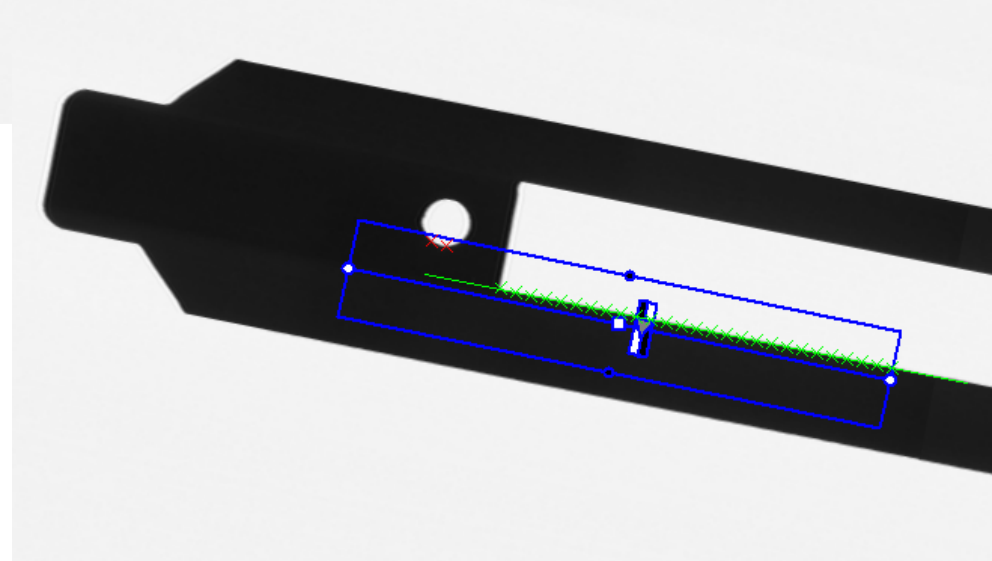
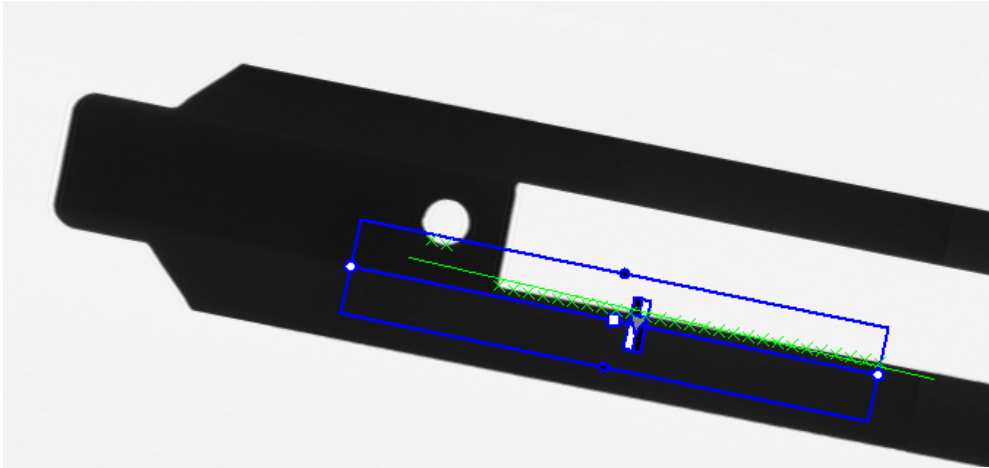


直線量測方法 (*Line Gauge*)

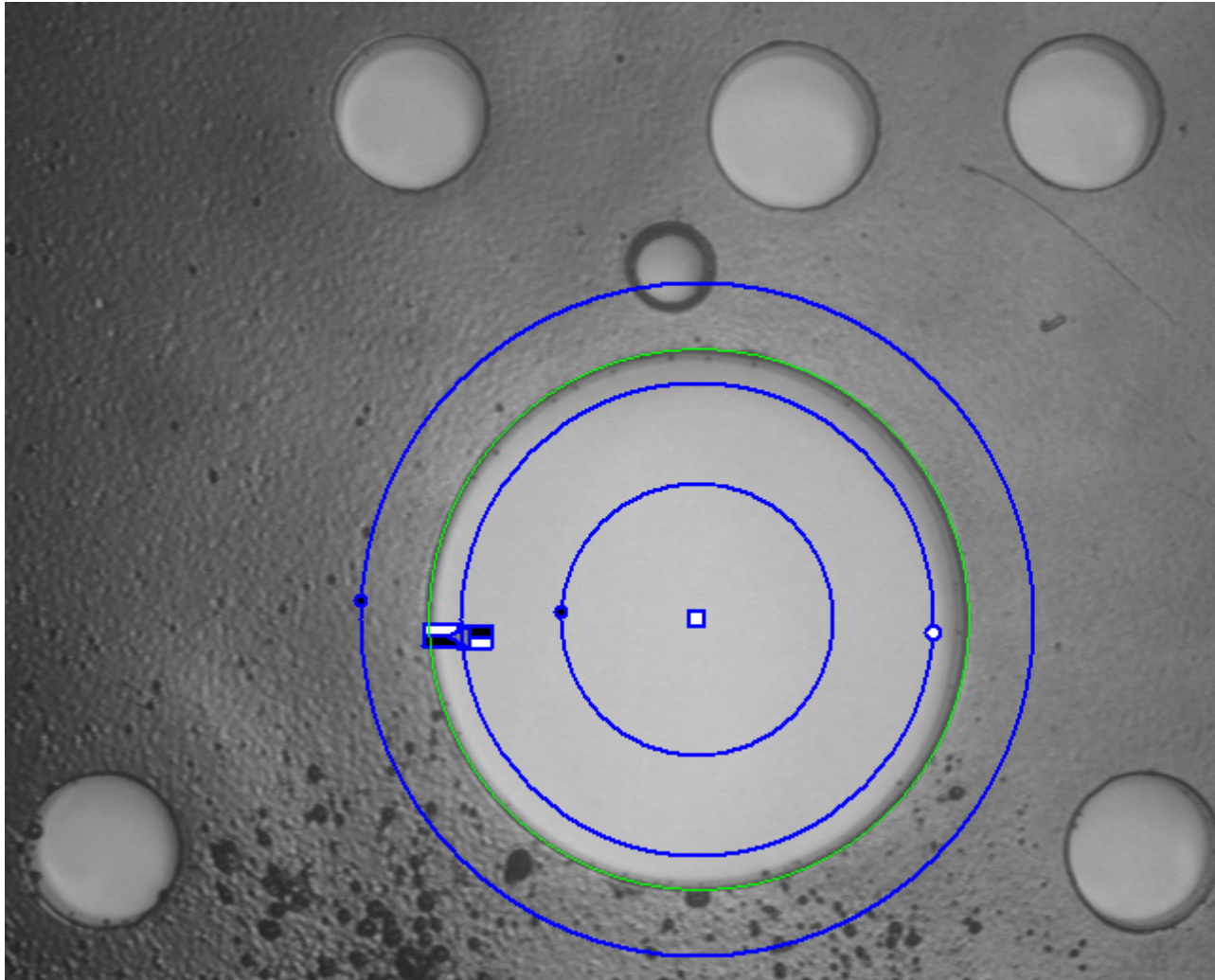
□ Least-squares approximations (最小平方誤差)

- 在科學或工程研究領域中，有限的實驗資料或實測資料，希望延伸實測資料之使用性，找出一代表性函數來近似，而此函數與資料之偏離誤差為最小，在此精神之下，所推導出來之結果，稱之為最小平方誤差法近似 (least-squares approximations) 。

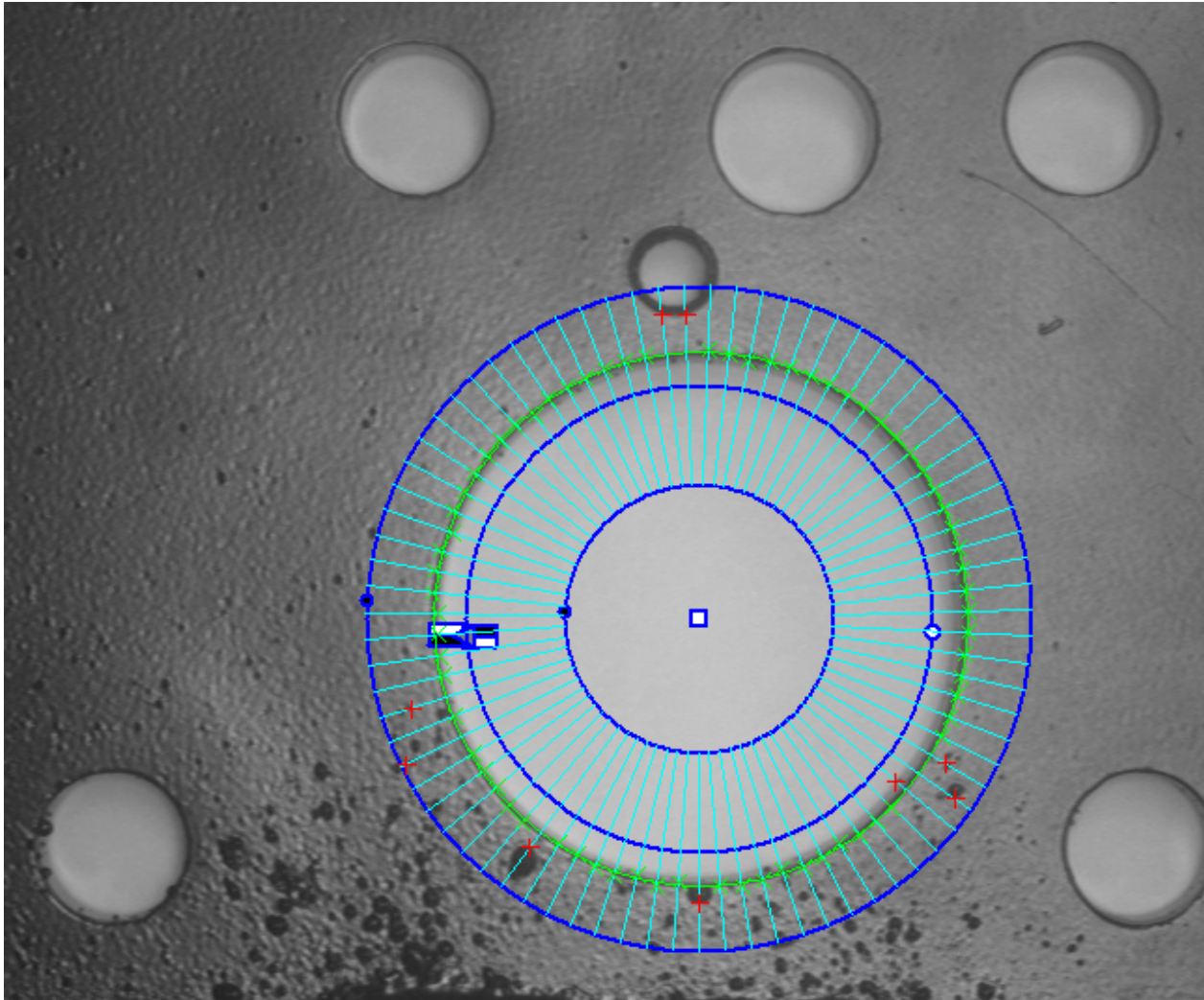
直線量測方法 (*Line Gauge*)



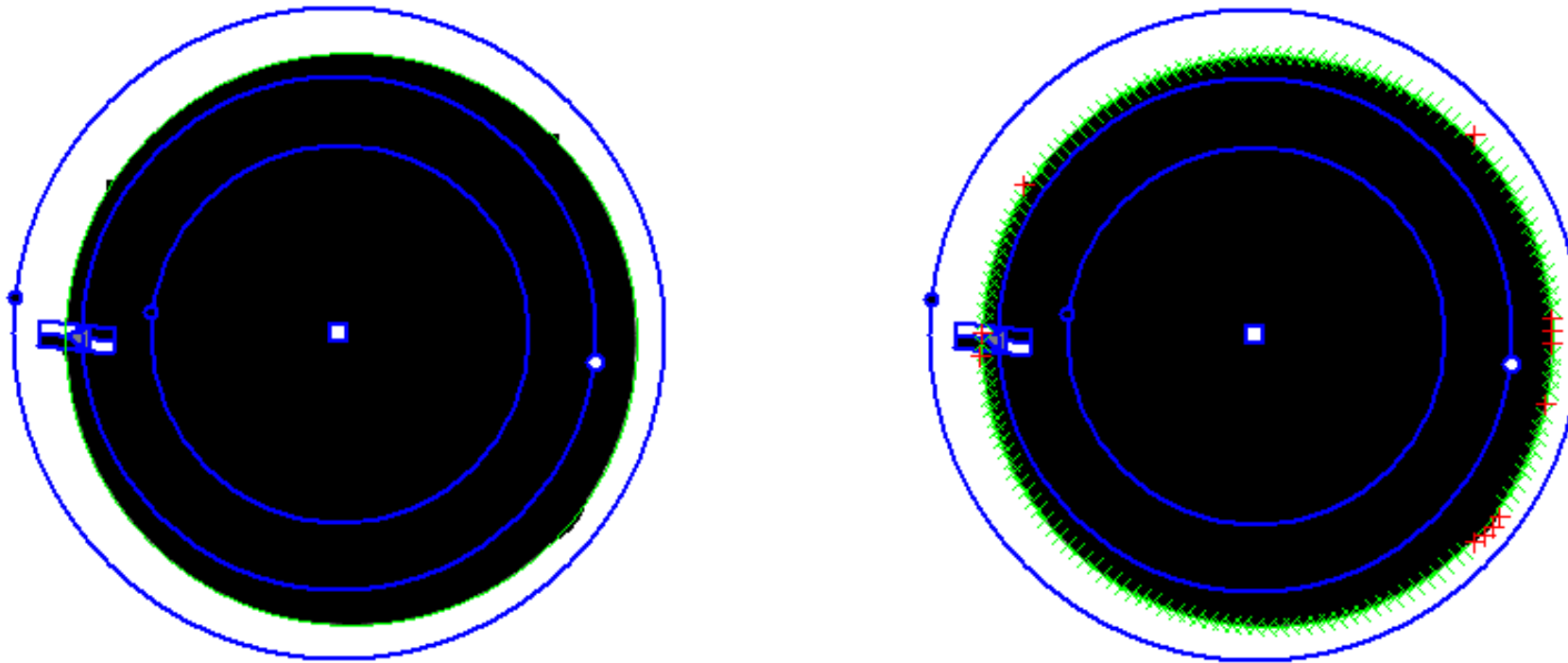
圓量測方法 (*Circle Gauge*)



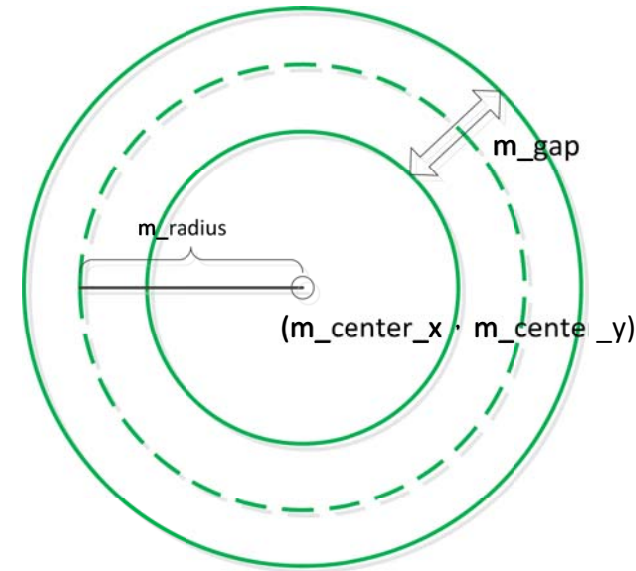
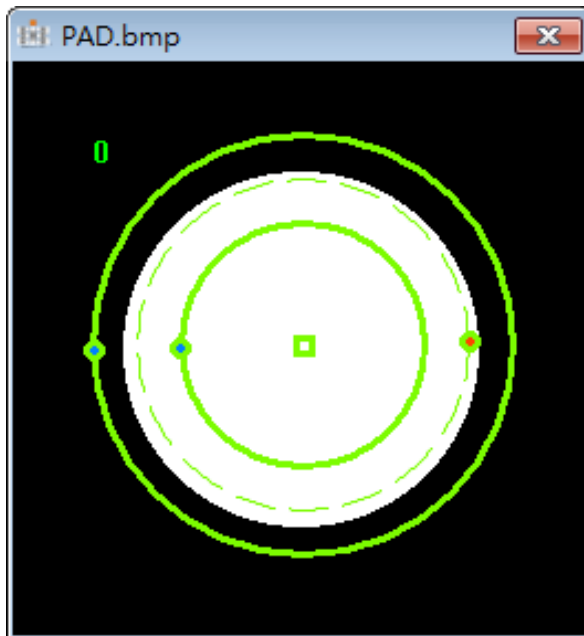
圓量測方法 (*Circle Gauge*)



圓量測方法 (Circle Gauge)



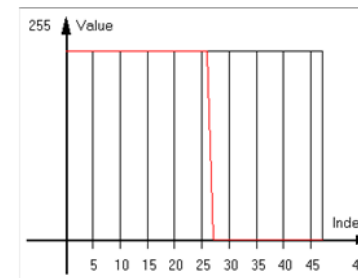
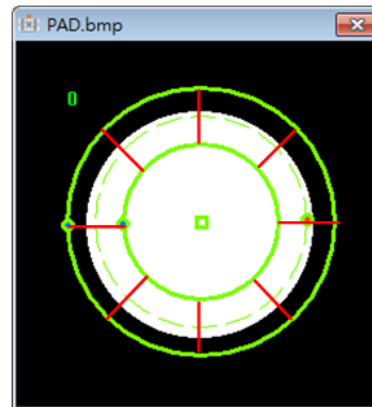
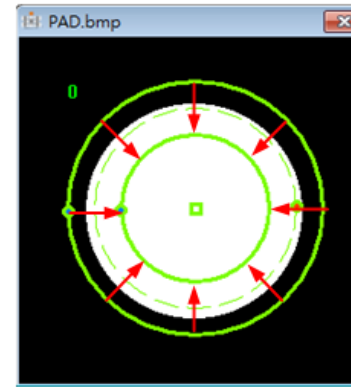
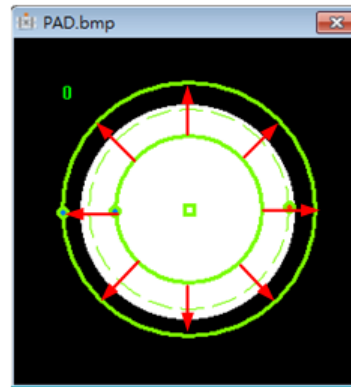
圓量測方法 (Circle Gauge)



型態	名稱	說明
int	m_center_x	中心點 X 座標
int	m_center_y	中心點 Y 座標
int	m_gap	環形間格
double	m_radius	環形半徑

圓量測方法 (*Circle Gauge*)

- Edge mode
 - From begin
 - From end
 - Largest

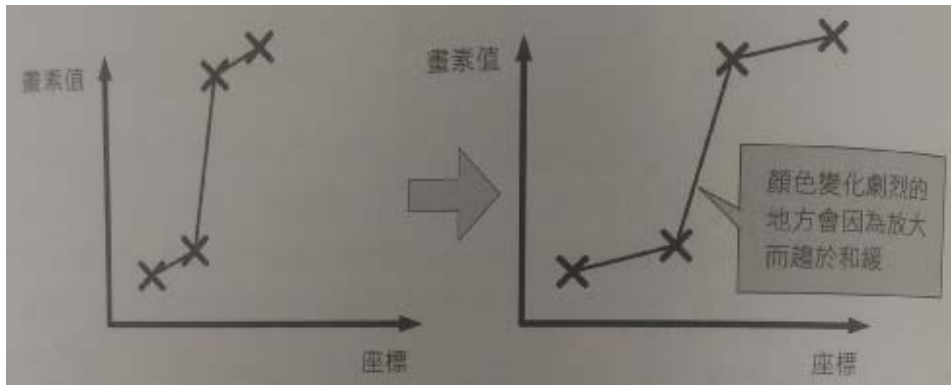


圓量測方法 (*Circle Gauge*)

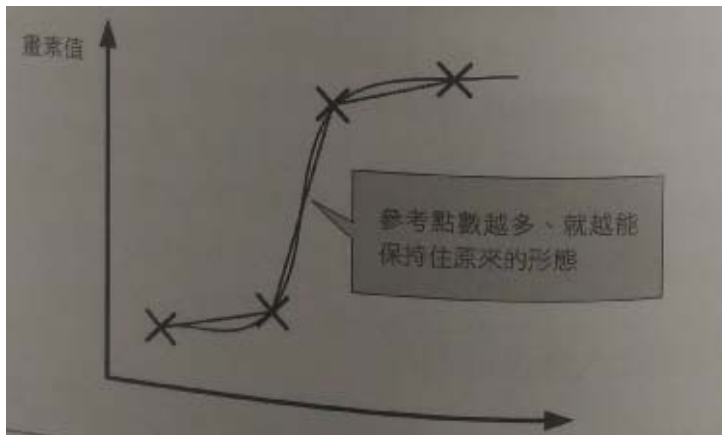
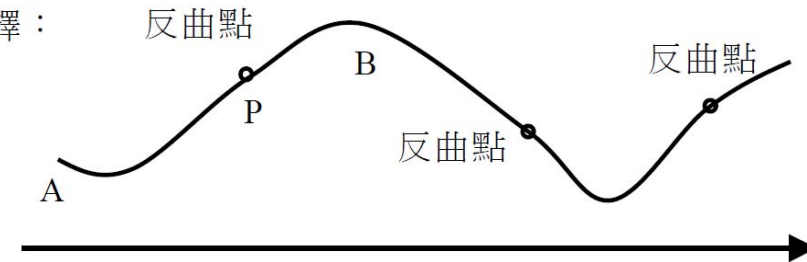
- ❑ Threshold : 灰階變化量
- ❑ Sampling Points : 取樣特徵點數量
- ❑ Start Angle : 如果使用非全圓量測時，ROI 起始角度
- ❑ End Angle : 如果使用非全圓量測時，ROI 終止角度
- ❑ Edge Choice : 投射線上判斷特徵點的方向選擇
- ❑ Transition Type : 邊緣偵測方向：黑白 :0 、白黑 :1 、 both:2
- ❑ Iteration N : 圓估測中疊代次數
- ❑ Iteration Th : 疊代閥值

Parameters	
Threshold	10
Sampling Points	360
iteration N	100
iteration Th	4
Start Angle	0
End Angle	360
EdgeChoice	2
TransitionType	2

次像素方法



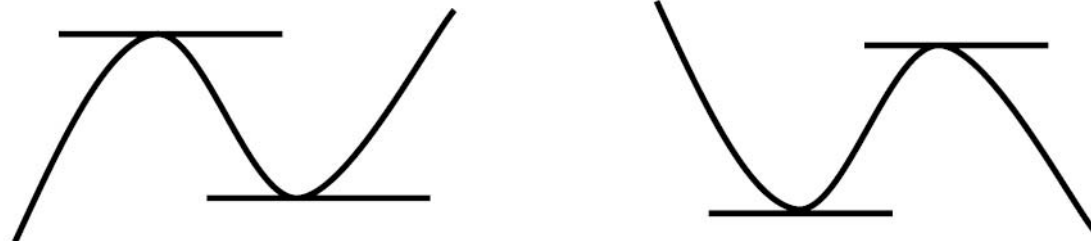
幾何解釋：



設三次函數 $f(x) = ax^3 + bx^2 + cx + d$ ($a \neq 0$)

$a > 0$

$a < 0$



$f''(\frac{-b}{3a}) = 0$ ，當 $x > \frac{-b}{3a}$ 與 $x < \frac{-b}{3a}$ ， $f''(x)$ 異號，所以 $(\frac{-b}{3a}, f(\frac{-b}{3a}))$ 為反曲點。

有一個極大，一個極小，一個反曲點

次像素方法

- Lagrange polynomial (拉格朗日內插法)：通過 4 點的多項式可以用3次多項式表示：

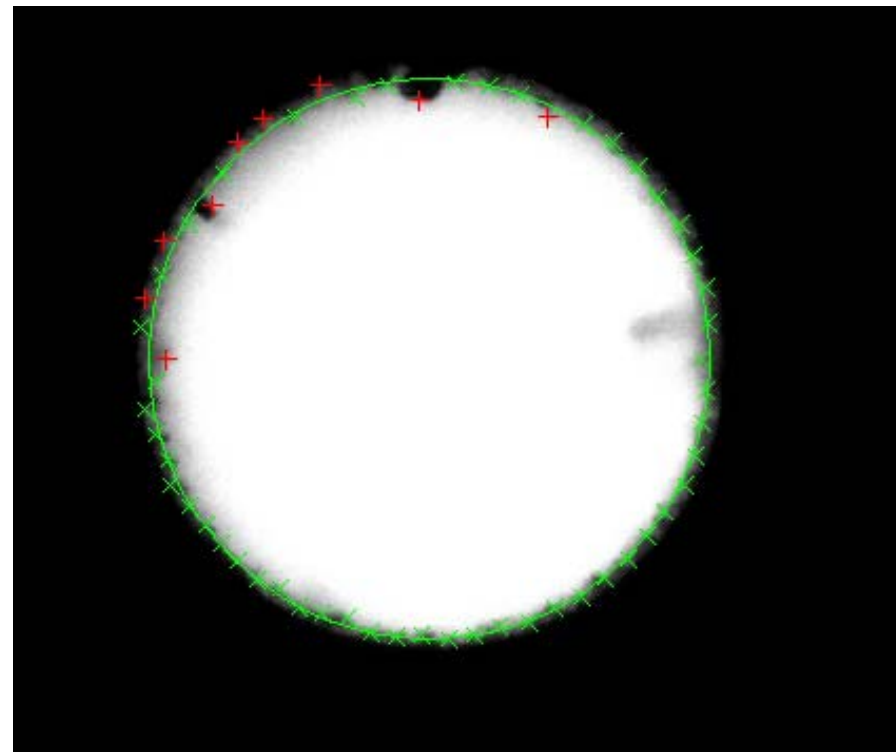
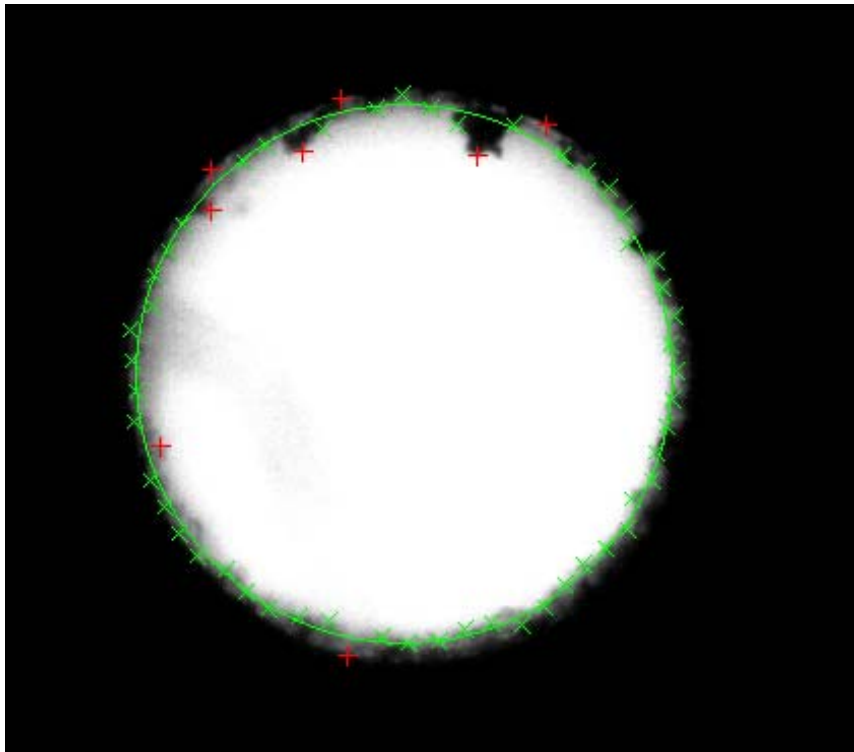
$$f(x) = ax^3 + bx^2 + cx + d$$

給應通過的 4 點就可以決定以上的多項式函數。如果以 $G(x)$ 表示在座標 x 上的像素值，則在參照 $x-1, x, x+1$ 及 $x+2$ 等4點時能建立以下方程式求解：

$$\begin{pmatrix} G(x-1) \\ G(x) \\ G(x+1) \\ G(x+2) \end{pmatrix} = \begin{pmatrix} (x-1)^3 & (x-1)^2 & (x-1) & 1 \\ x^3 & x^2 & x & 1 \\ (x+1)^3 & (x+1)^2 & (x+1) & 1 \\ (x+2)^3 & (x+2)^2 & (x+2) & 1 \end{pmatrix} \begin{pmatrix} a \\ b \\ c \\ d \end{pmatrix}$$

實際應用案例

□ 噴料孔檢測與量測：



實際應用案例

□ 噴料孔檢測與量測：

■ 真圓度量測：

- 以失圓尺寸大小表示
- 圓形工件之輪廓形狀與理想形狀偏差量
- 兩個能包絡圓形工件輪廓形狀的同心圓之最小半徑差異

實際應用案例

□ 噴料孔檢測與量測：

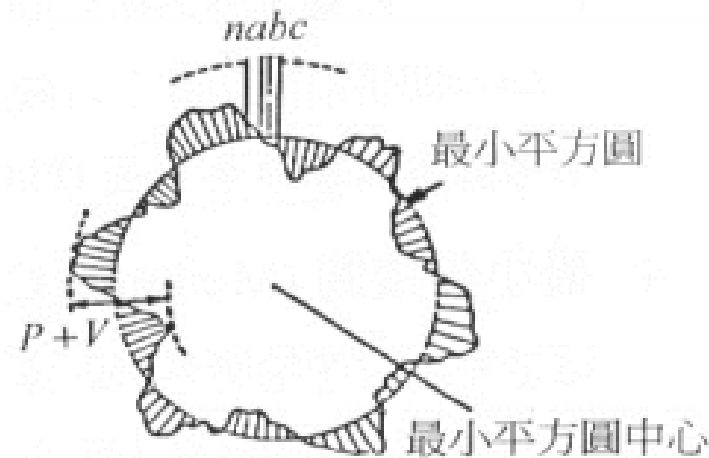
■ 真圓度量測：

- 最小平方圓
- 最大內切圓
- 最小外接圓
- 最小環帶圓

實際應用案例

□ 最小平方圓：

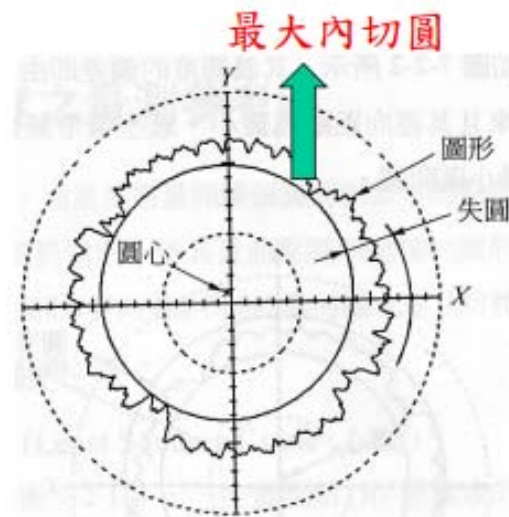
- 最小平方圓距離輪廓形狀之徑向距離之平方和為最小。
- 待測工件圓斷面之失圓等於最小平方圓其偏差值的大小。
- 失圓為其最大波峰到最大波谷的和。



實際應用案例

□ 最大內切圓：

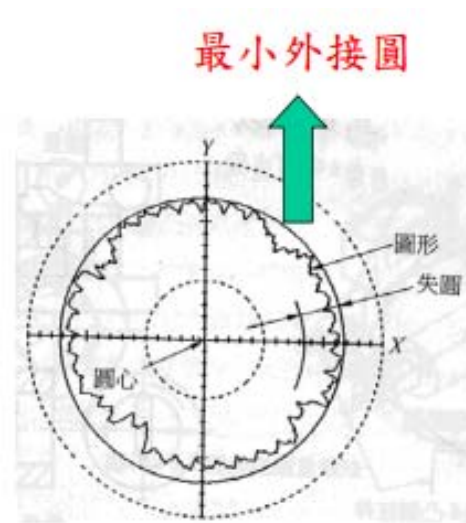
- 內接於待測圓輪廓，且半徑為最大的內接圓。
- 完全被輪廓外形所包圍，而無相交之最大圓。



實際應用案例

□ 最小外接圓：

- 外接於待測圓輪廓，且半徑為最小的外接圓。
- 完全封閉輪廓外形最小圓。

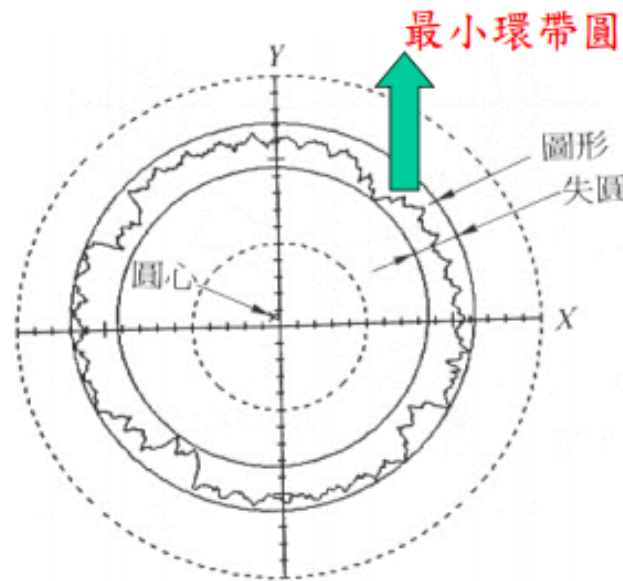


實際應用案例

□ 最小環帶圓：

■ 又稱最小區間圓。

■ 兩個同心圓將輪廓形狀包絡起來，且其徑向距離為最小。



實際應用案例

□ 真圓度量測：

- 最小外接圓 - 最大內切圓。

- 實作方式：

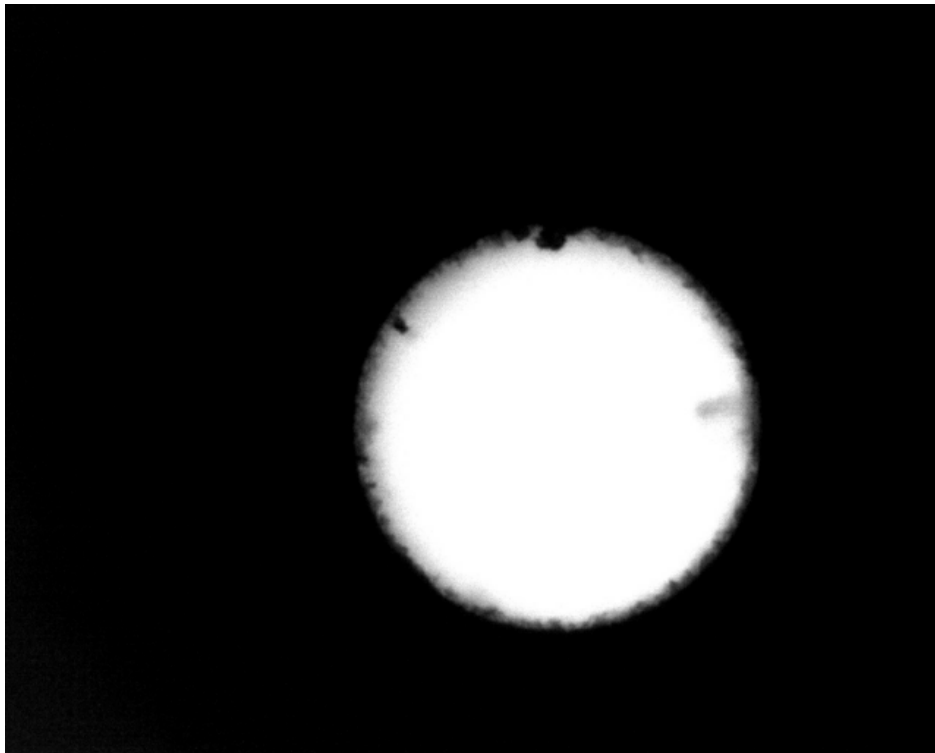
- 先計算最小平方圓

- 利用最小平方圓所計算出的圓心位置，計算輪廓的最小外接圓及最大內切圓

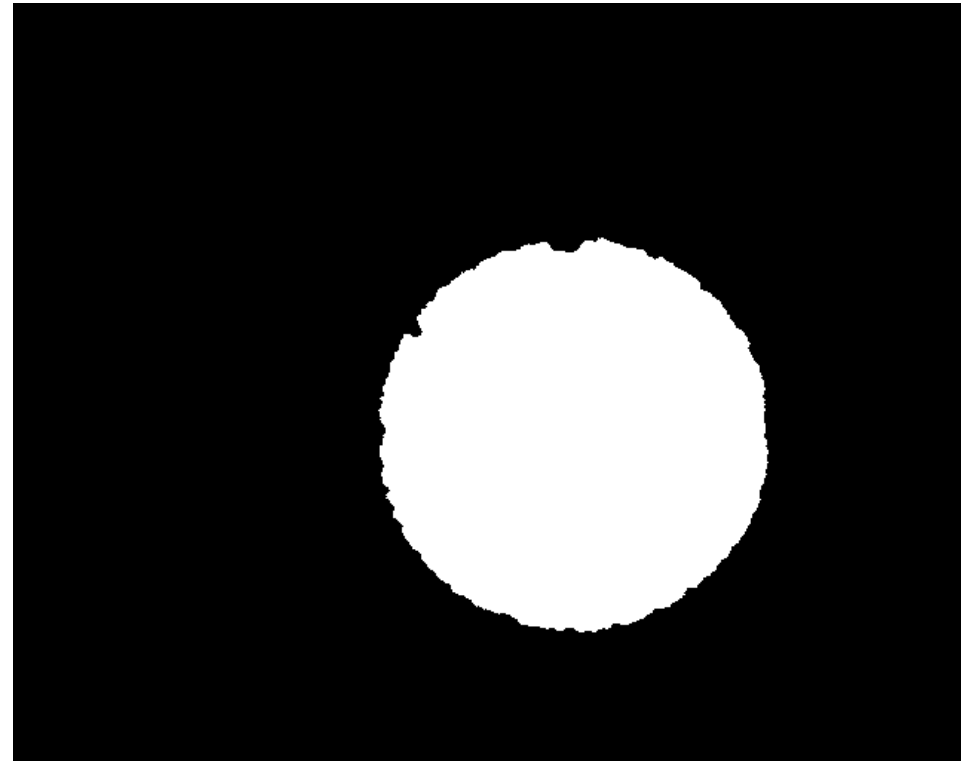
- 將最小外接圓半徑減去最大內切圓半徑，即可得真圓度（失圓）

實際應用案例

□ 非固定式圓孔量測：



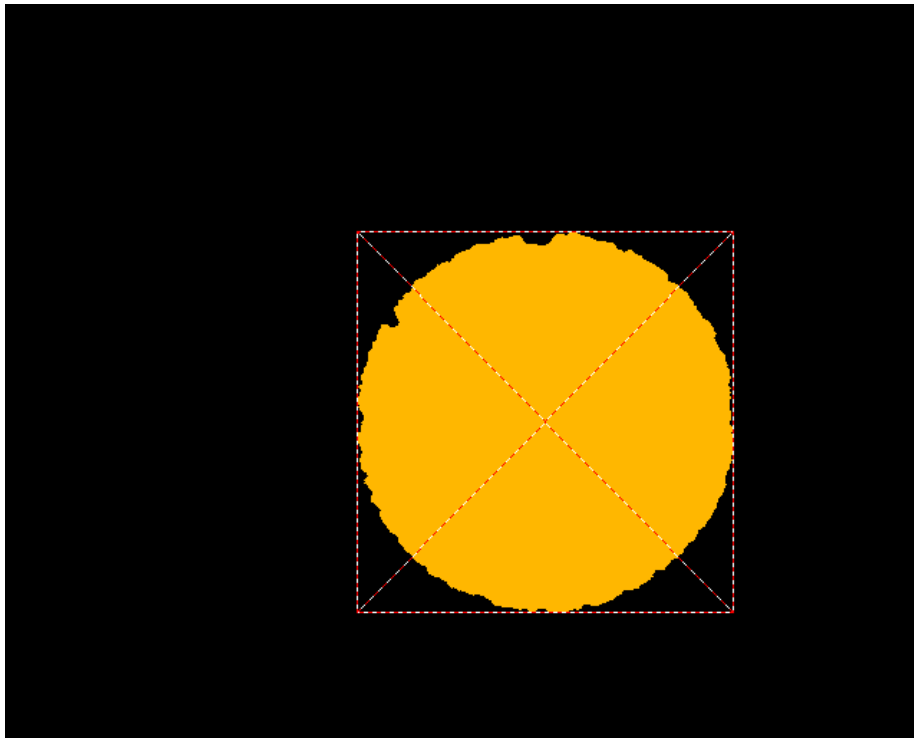
原始圖



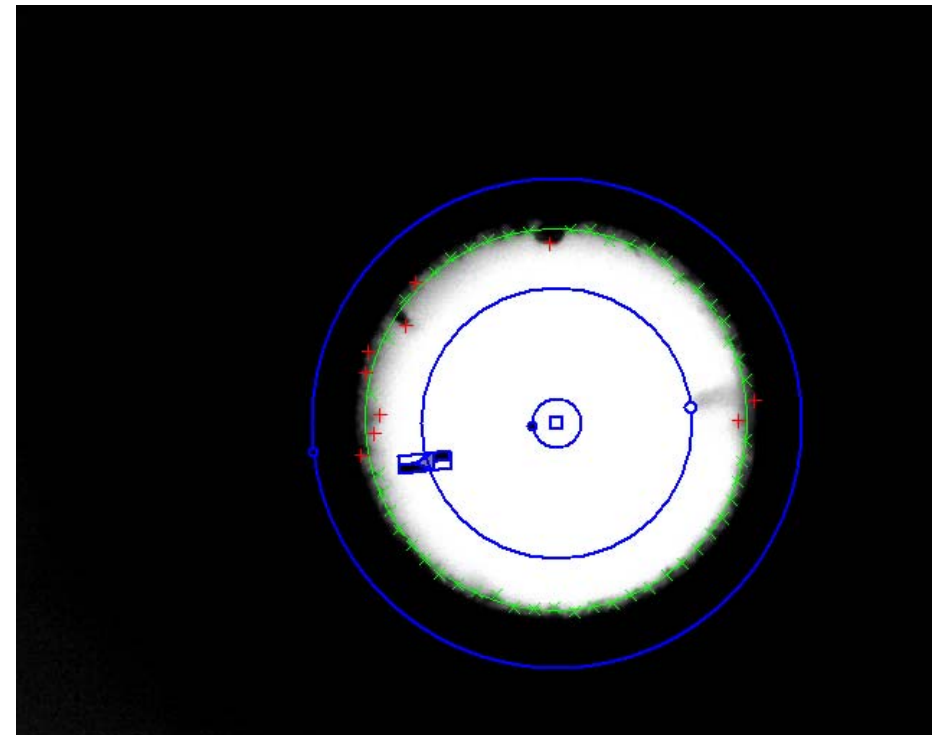
二值化

實際應用案例

□ 非固定式圓孔量測：



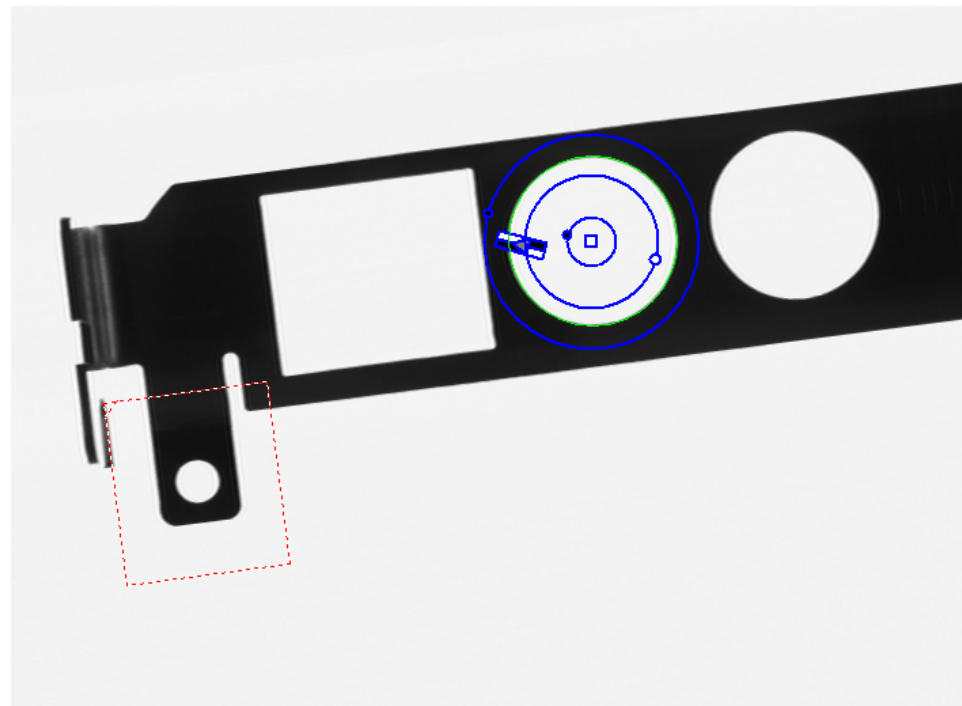
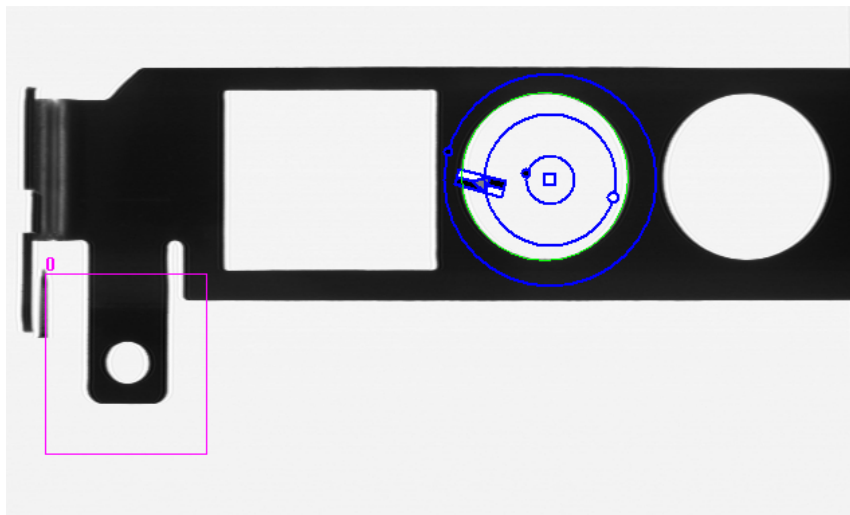
Connected Component
Labeling



圓孔量測

實際應用案例

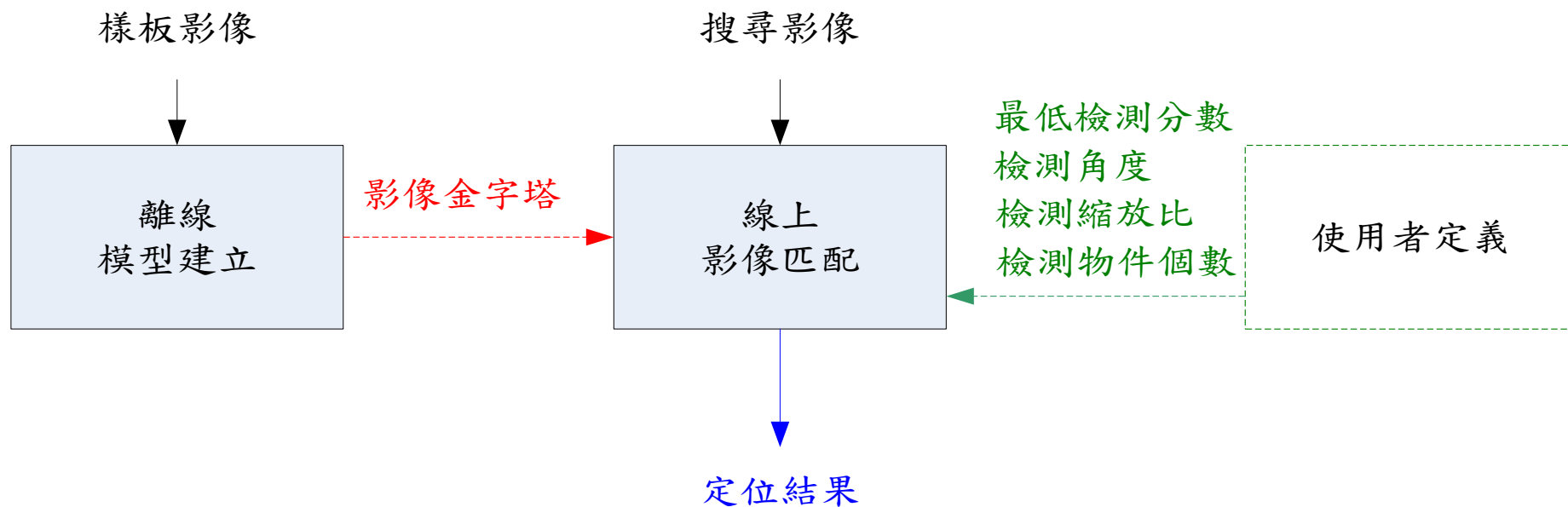
□ 非固定式圓孔量測：



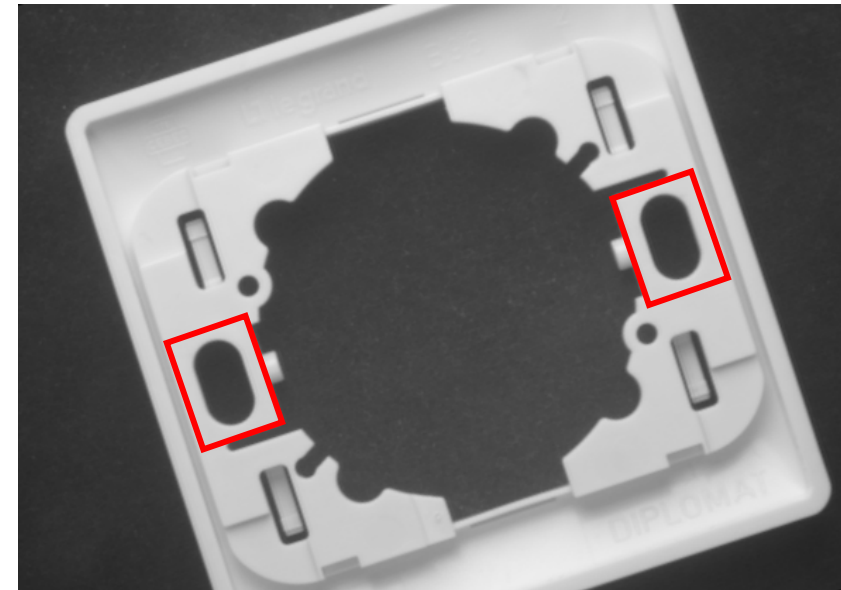
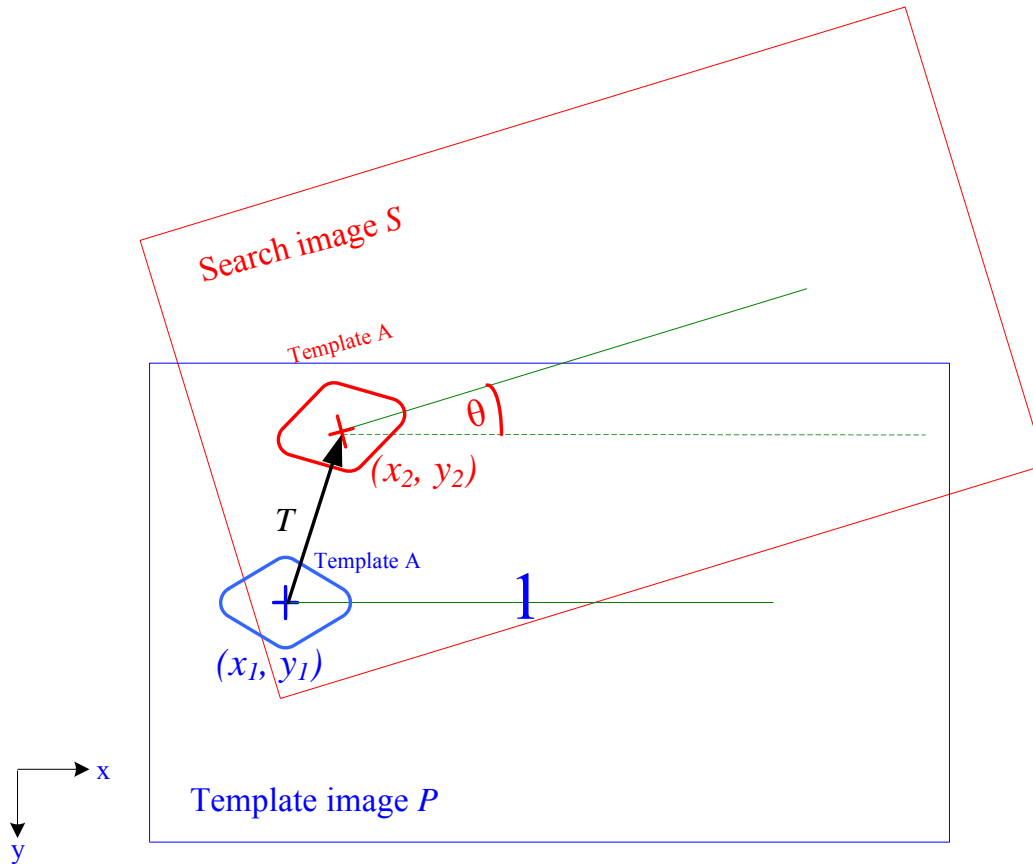
視覺定位技術

An accelerating CPU based correlation-based image alignment for real-time automatic optical inspection. Computers & Electrical Engineering 49: 207-220 (2016)

視覺定位流程圖



2D 視覺定位



Search image



Template

相似度

- ❑ Sum of Absolute Differences (SAD)
- ❑ Sum of Squared Differences (SSD)
- ❑ Normalized cross correlation (NCC)
- ❑ Shape-based matching (SBM)

$$-1 \leq \text{Similarity coefficient} \leq 1$$

Perfect matching → Similarity coefficient = 1
minimum difference

相似度 (續)

□ Sum of Absolute Differences (SAD)

$$SAD(x, y) = \sum_{i=-w/2}^{w/2} \sum_{j=-h/2}^{h/2} |I(x+i, y+j) - T(i, j)|$$

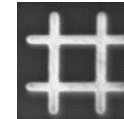


Image *T*

□ Sum of Squared Differences (SSD)

$$SAD(x, y) = \sum_{i=-w/2}^{w/2} \sum_{j=-h/2}^{h/2} |I(x+i, y+j) - T(i, j)|^2$$

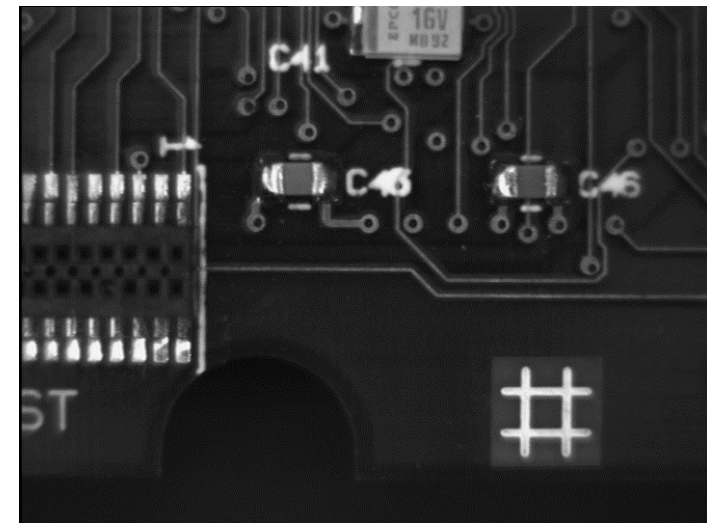


Image *I*

□ Matching result : Minimum difference

相似度 (續)

□ Normalized cross correlation (NCC)

$$\delta_g(x, y) = \frac{\sum_{i=-w/2}^{w/2} \sum_{j=-h/2}^{h/2} [I(x+i, y+j) \cdot T(i, j)] - w \cdot h \cdot \mu_I \cdot \mu_T}{\sqrt{\left(\sum_{i=-w/2}^{w/2} \sum_{j=-h/2}^{h/2} I^2(x+i, y+j) - w \cdot h \cdot \mu_I^2 \right) \cdot \left(\sum_{i=-w/2}^{w/2} \sum_{j=-h/2}^{h/2} T^2(i, j) - w \cdot h \cdot \mu_T^2 \right)}},$$

The size of the template image $w \times h$

and μ_T are the gray-level averages of the template image and the windowed compared image.

$$\mu_T = \frac{1}{w \cdot h} \sum_{i=-w/2}^{w/2} \sum_{j=-h/2}^{h/2} T(i, j)$$

$$\mu_I = \frac{1}{w \cdot h} \sum_{i=-w/2}^{w/2} \sum_{j=-h/2}^{h/2} I(x+i, y+j)$$

相似度 (續)

□ Normalized cross correlation (NCC)

$$\delta_c(x, y) = \frac{\sum_{i=-w/2}^{w/2} \sum_{j=-h/2}^{h/2} [I(x+i, y+j) \cdot T(i, j)] - 3 \cdot w \cdot h \cdot \mu_I \cdot \mu_T}{\sqrt{\left(\sum_{i=-w/2}^{w/2} \sum_{j=-h/2}^{h/2} \|I(x+i, y+j)\|^2 - 3 \cdot w \cdot h \cdot \mu_I^2 \right) \cdot \left(\sum_{i=-w/2}^{w/2} \sum_{j=-h/2}^{h/2} \|T(i, j)\|^2 - 3 \cdot w \cdot h \cdot \mu_T^2 \right)}}$$

The size of the template image $w \times h$

u_T and u_I are the color-level averages of the template image and the windowed compared image.

$$T(i, j) = (T_R(i, j), T_G(i, j), T_B(i, j)) \quad I(x+i, y+j) = (I_R(x+i, y+j), I_G(x+i, y+j), I_B(x+i, y+j))$$

$$\mu_T = \frac{1}{3 \cdot w \cdot h} \sum_{i=-w/2}^{w/2} \sum_{j=-h/2}^{h/2} [T_R(i, j) + T_G(i, j) + T_B(i, j)]$$

$$\mu_I = \frac{1}{3 \cdot w \cdot h} \sum_{i=-w/2}^{w/2} \sum_{j=-h/2}^{h/2} [I_R(x+i, y+j) + I_G(x+i, y+j) + I_B(x+i, y+j)]$$

相似度 (續)

□ Normalized cross correlation (NCC)

$$\delta_c(x, y) = \frac{\sum_{i=-w/2}^{w/2} \sum_{j=-h/2}^{h/2} [I(x+i, y+j) \cdot T(i, j)] - 3 \cdot w \cdot h \cdot \mu_I \cdot \mu_T}{\sqrt{\left(\sum_{i=-w/2}^{w/2} \sum_{j=-h/2}^{h/2} \|I(x+i, y+j)\|^2 - 3 \cdot w \cdot h \cdot \mu_I^2 \right) \cdot \left(\sum_{i=-w/2}^{w/2} \sum_{j=-h/2}^{h/2} \|T(i, j)\|^2 - 3 \cdot w \cdot h \cdot \mu_T^2 \right)}}$$

The size of the template image $w \times h$

μ_I and μ_T are the color-level averages of the template image and the windowed compared image.

$$T(i, j) = (T_R(i, j), T_G(i, j), T_B(i, j)) \quad I(x+i, y+j) = (I_R(x+i, y+j), I_G(x+i, y+j), I_B(x+i, y+j))$$

$$\mu_T = \frac{1}{3 \cdot w \cdot h} \sum_{i=-w/2}^{w/2} \sum_{j=-h/2}^{h/2} [T_R(i, j) + T_G(i, j) + T_B(i, j)]$$

$$\mu_I = \frac{1}{3 \cdot w \cdot h} \sum_{i=-w/2}^{w/2} \sum_{j=-h/2}^{h/2} [I_R(x+i, y+j) + I_G(x+i, y+j) + I_B(x+i, y+j)]$$

相似度 (續)

□ Shape-Based Matching

$$\delta_{eg}(x, y) = \frac{1}{n} \sum_{i=1}^n \frac{\mathbf{d}_i \mathbf{e}_i}{\|\mathbf{d}_i\| \|\mathbf{e}_i\|} = \frac{1}{n} \sum_{i=1}^n \frac{t_i v_{x+r_i, y+c_i} + u_i w_{x+r_i, y+c_i}}{\sqrt{t_i^2 + u_i^2} \sqrt{v_{x+r_i, y+c_i}^2 + w_{x+r_i, y+c_i}^2}},$$

$$\mathbf{d}_i = (t_i, u_i)^T$$

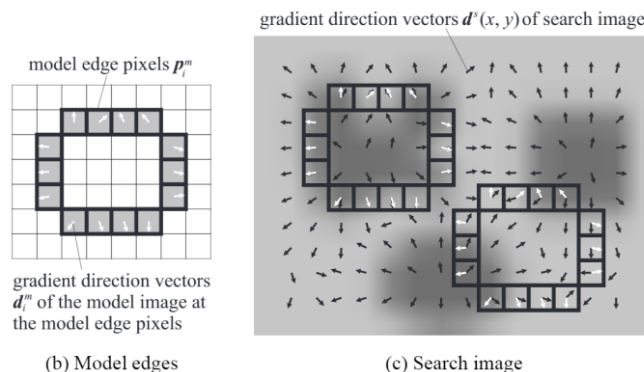
gradients direction vector of template image

$$\mathbf{e}_i = (v_{r_i, c_i}, w_{r_i, c_i})^T$$

gradients direction vector of scene image

$$\mathbf{q}_i = (r_i, c_i)^T$$

edge points, these points are relative to the center of gravity and the edge points of the object.



Picture Ref: Halcon

2D 視覺定位

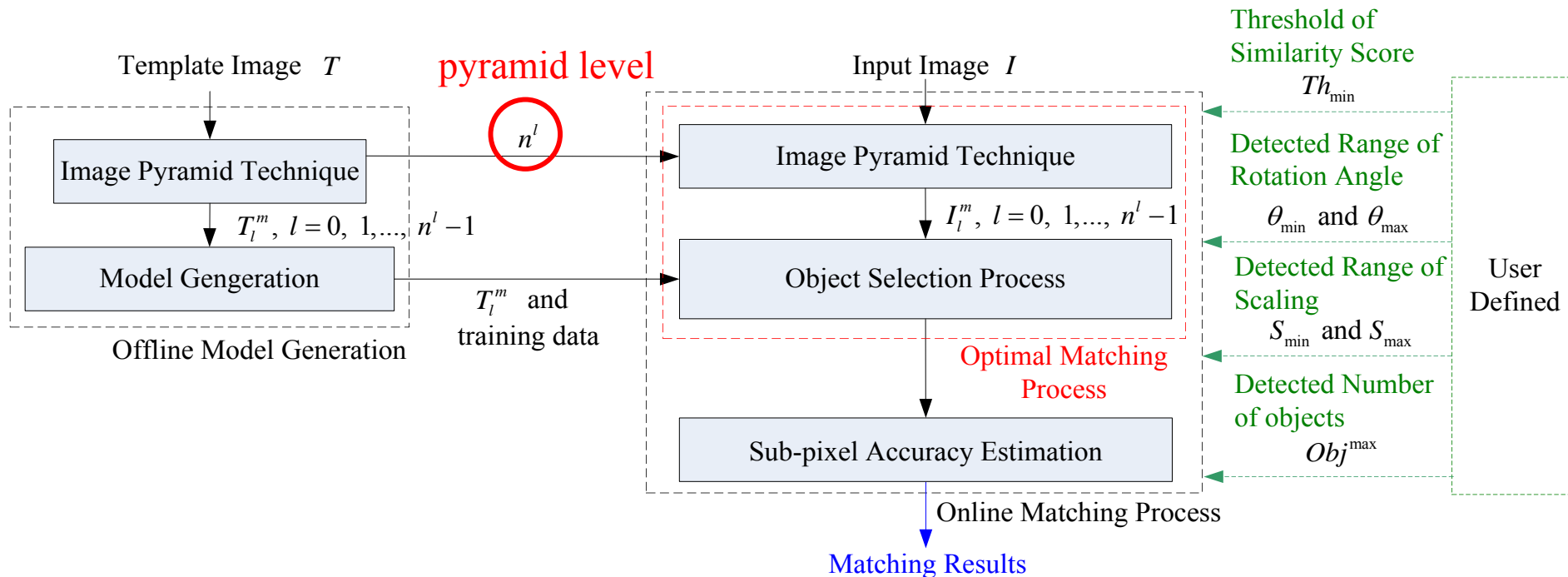
Table. Summary of image alignment methods.

Category	Features	Approaches	Disadvantages
Feature-based	Edge maps Interest point Invariant descriptors Orientation code	Hausdorff distance Feature correspondence Zernike moment Dissimilarity measurement Ring-projection	Inaccurate feature extraction
Area-based	Intensity	Cross correlation	Excessive computation time

2D 視覺定位

Category	Strategy	Improving methods
Area-based	Computation enhancement	Integral image GPU SIMD
	Skipping unnecessary computation	Coarse-to-fine Bounded conditions Elimination strategy Winner update Walsh-Hadamard kernels
Feature-based	Computation enhancement	SIMD Dominant gradients orientation
	Skipping unnecessary computation	Branch and bound Invariant descriptor Bounded conditions

2D 視覺定位

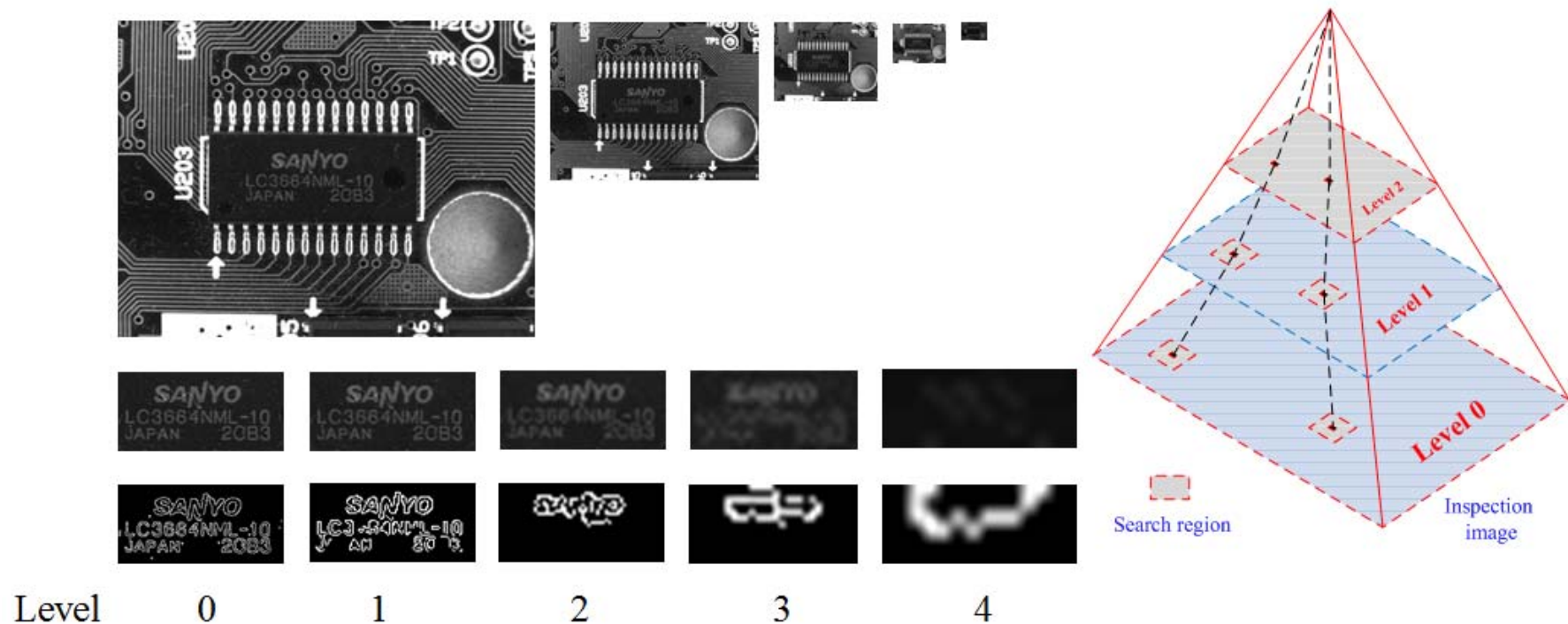


Optimal (Coarse-to-fine) :

- Image pyramid technique
- SIMD
- Search strategy

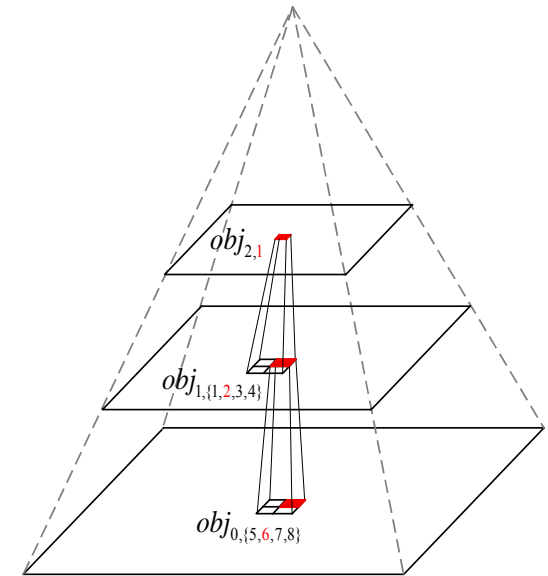
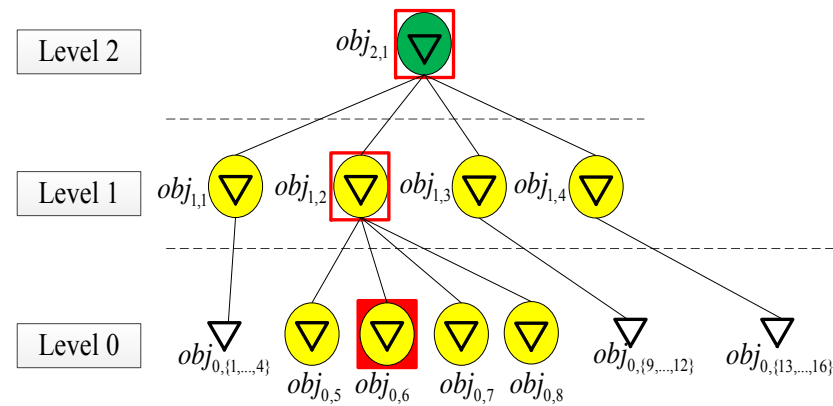
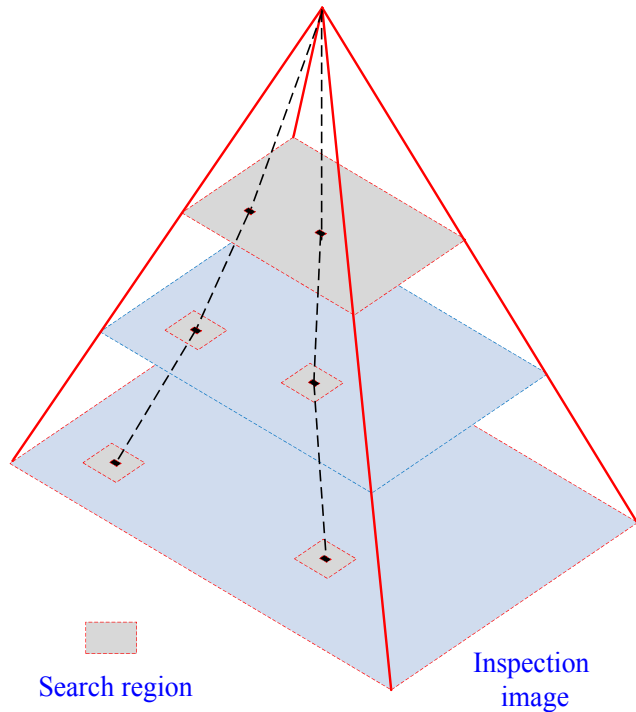
2D 視覺定位

➤ Image pyramid technique



- Pyramid levels: as high as possible.
- Top level: recognizable.

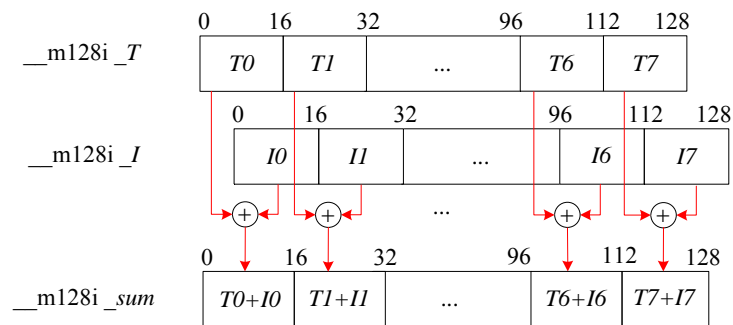
搜尋策略



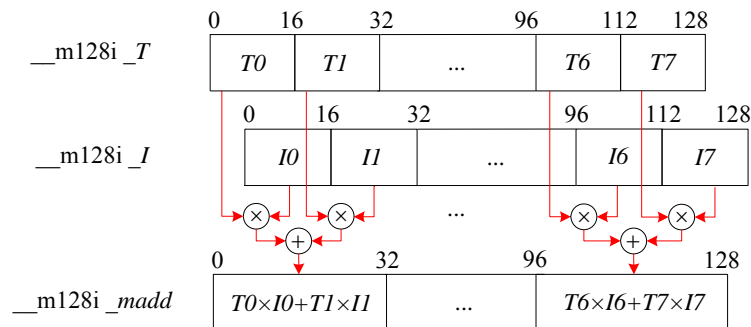
Yellow: search candidates

Red: with maximum similarity score and it exceeds the threshold of similarity

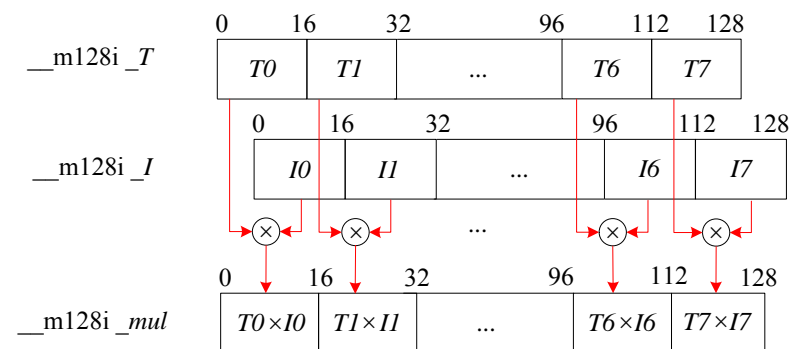
SSE2 加速機制



$_sum = _mm_add_epi16(_T, _I)$



$_madd = _mm_madd_epi16(_T, _I)$



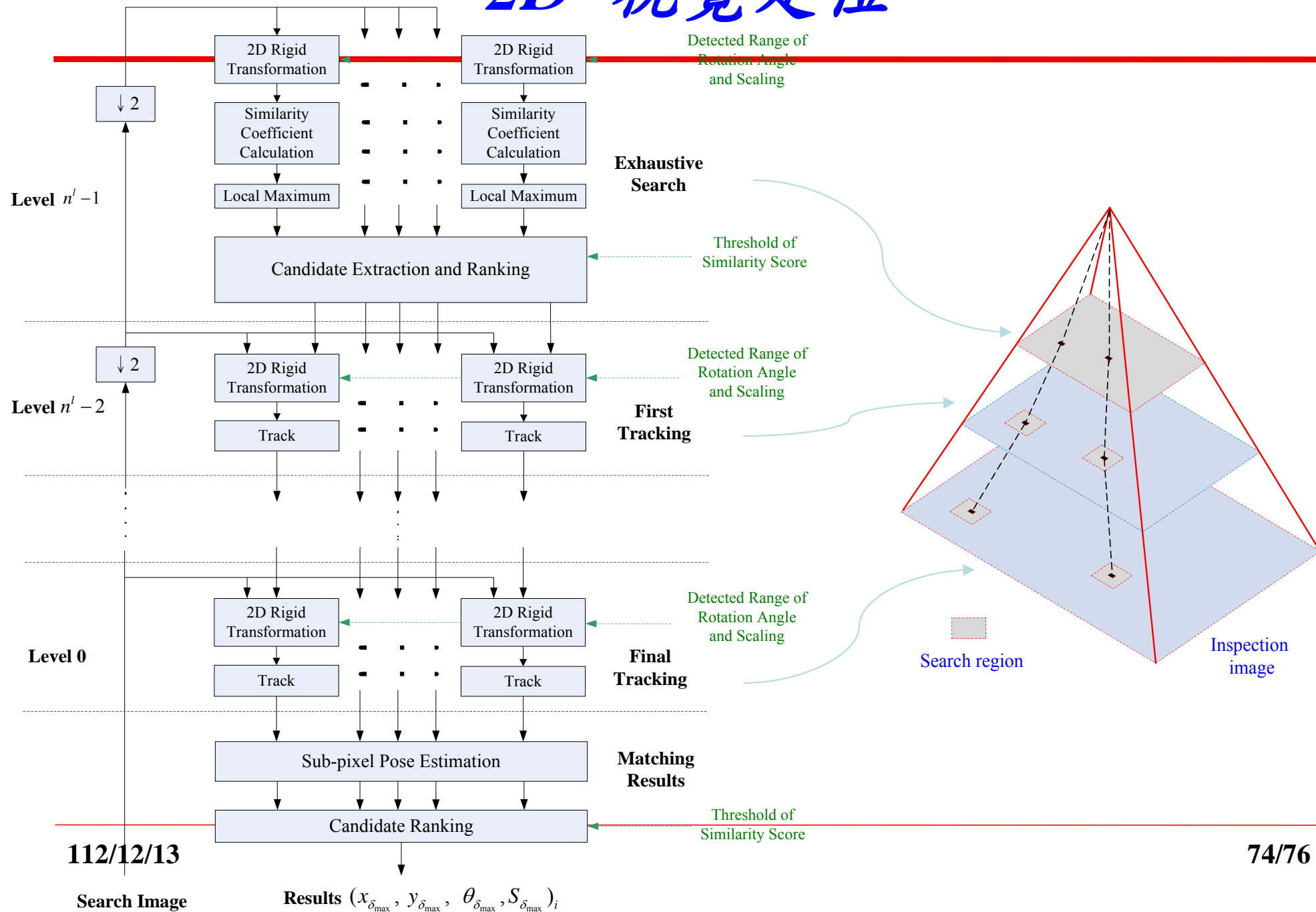
$_mul = _mm_mullo_epi16(_T, _I)$

For instance, the size of the template and compared windows images are 8×8 pixel

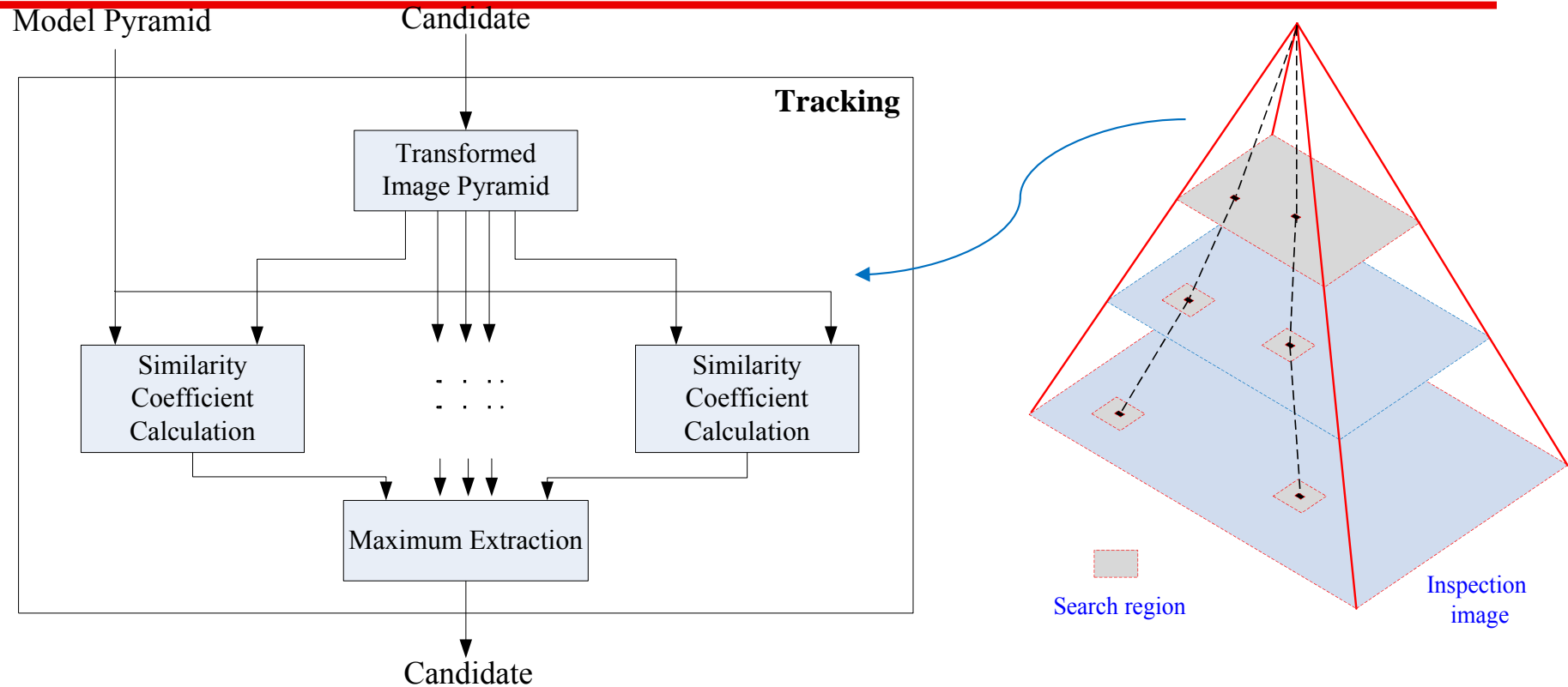
Instruction
cycles

SSE2	469	8 times
Without SSE2	3736	

2D 視覺定位



2D 視覺定位



$$(x_{\delta_{\max}}, y_{\delta_{\max}}, \theta_{\delta_{\max}}, s_{\delta_{\max}}) = \arg \max_{x, y, \theta, s} \delta(x, y, \theta, s),$$

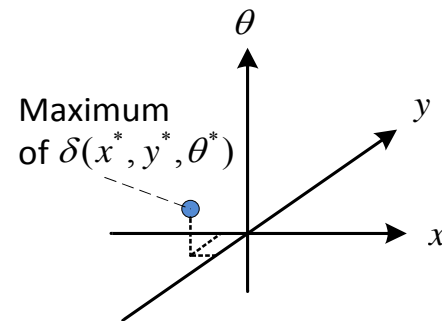
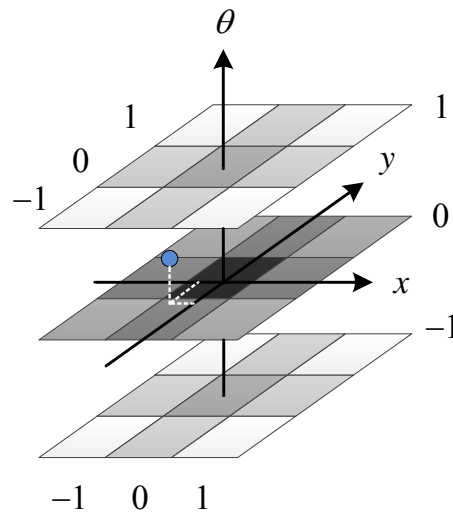
$$x \in [x' - t_x, x' + t_x], y \in [y' - t_y, y' + t_y],$$

$$\theta \in [\theta' - 2\Delta\theta, \theta' + 2\Delta\theta]$$

$$s \in [s' - \Delta s, s' + \Delta s]$$

2D 視覺定位

$$\delta(x, y, \theta) = k_0 x^2 + k_1 y^2 + k_2 \theta^2 + k_3 xy + k_4 x\theta + k_5 y\theta + k_6 x + k_7 y + k_8 \theta + k_9$$



$$\begin{aligned} x &\in [x'_0 - 1, x'_0 + 1], \\ y &\in [y'_0 - 1, y'_0 + 1], \\ \theta &\in [\theta'_0 - \Delta\theta_0, \theta'_0 + \Delta\theta_0] \end{aligned}$$

3x3x3 neighborhood space

$$\begin{bmatrix} x^* \\ y^* \\ \theta^* \end{bmatrix} = \begin{bmatrix} 2k_0 & k_3 & k_4 \\ k_3 & 2k_1 & k_5 \\ k_4 & k_5 & 2k_2 \end{bmatrix}^{-1} \begin{bmatrix} -k_6 \\ -k_7 \\ -k_8 \end{bmatrix}$$